



## تحلیل حساسیت زمان انحلال، دمای پیرسازی و افزودن نانوذرات خاک رس بر سختی آلیاژ آلومینیوم-سیلیسیم پیستون به روش آنالیز رگرسیون\*

مقاله پژوهشی

حامد بهمن آبادی<sup>(۱)</sup> محمد آزادی<sup>(۲)</sup>

DOI: 10.22067/jmme.2022.75681.1044

**چکیده** در این مقاله، به تحلیل حساسیت پارامترهای عملیات حرارتی شامل زمان انحلال، دمای پیرسازی و نیز افزودن نانوذرات بر سختی آلیاژ آلومینیوم-سیلیسیم ( $AlSi12CuNiMg$ ) پیستون موتور خودرو به روش آنالیز رگرسیون پرداخته شده است. بدین منظور، از نانوذرات خاک رس به مقدار ۱ درصد وزنی جهت ساخت نانوکامپوزیت پایه فلزی، استفاده شده و نمونه‌های استاندارد، با روش ریخته‌گری گردابی و گرانشی ساخته شدند. به منظور یافتن شرایط بهینه عملیات حرارتی جهت دستیابی به بیشترین مقدار سختی، فرآیند انحلال با دمای ۵۰۰ درجه سانتی‌گراد به مدت ۱، ۳ و ۵ ساعت و نیز فرآیند پیرسازی با دماهای ۲۰۰، ۲۱۵ و ۲۳۰ درجه سانتی‌گراد به مدت ۶ ساعت بر روی آلیاژ پایه و نیز نانوکامپوزیت پایه فلزی، اعمال گردید. نتایج تجربی نشان داد که دمای پیرسازی، پارامتری با بیشترین تأثیر و زمان انحلال و نیز افزودن نانوذرات، پارامترهایی با کمترین میزان تأثیر بر سختی آلیاژ بوده‌اند. همچنین، زمان ۵ ساعت برای فرآیند انحلال و دمای ۲۰۰ درجه سانتی‌گراد برای فرآیند پیرسازی، شرایط بهینه برای عملیات حرارتی بوده و موجب دستیابی به بیشترین میزان سختی شده‌اند.

واژه‌های کلیدی آلیاژ آلومینیوم-سیلیسیم، آنالیز رگرسیون، پیستون موتور، عملیات حرارتی، نانوذرات رس.

## Sensitivity Analysis of Solutioning Time, Ageing Temperature, and Clay Nano-Particles Addition on Hardness of Piston Aluminum-Silicon Alloy using Regression Analysis

Hamed Bahmanabadi

Mohammad Azadi

### Abstract

In this article, the sensitivity analysis of heat treatment parameters including the solutioning time, ageing temperature, and addition of nano-particles on the hardness of the piston aluminum-silicon alloy ( $AlSi12CuNiMg$ ) were characterized using regression analysis method. For such an objective, the clay nano-particles with 1 wt.% were used to fabricate the metal-matrix nano-composites and the standard specimens were produced using the gravity and stir-casting methods. To find the superior heat treatment conditions for aiming the maximum hardness, the solution treatment was performed at 500°C for 1, 3, and 5 hours and the ageing treatment was done at 200, 215, and 230°C for 6 hours on the base alloy and the metal-matrix nano-composites. Experimental results showed that the ageing treatment had the most effect on the material hardness and the solutioning time and nano-particles addition were the less effective parameters on the alloy hardness. The optimum heat treatment conditions achieved by the solutioning time of 5 hours and the ageing temperature of 200 °C, during heat-treating which led to have the maximum hardness.

**Key Words:** Aluminum-silicon alloy, Regression analysis, Engine piston, Heat treatment, Clay nano-particles

\* تاریخ دریافت مقاله ۱۴۰۰/۱۲/۱۵ و تاریخ پذیرش آن ۱۴۰۱/۱۰/۰۴ می‌باشد.

(۱) دانش‌آموخته کارشناسی ارشد، دانشکده مهندسی مکانیک، دانشگاه سمنان، سمنان.

(۲) نویسنده مسئول، دانشیار، دانشکده مهندسی مکانیک، دانشگاه سمنان، سمنان.

## مقدمه

پیستون، یکی از حساس ترین قطعات موتور خودرو است که در زمان عملکرد، تحت بارهای حرارتی و مکانیکی شدیدی قرار دارد [1]. باتوجه به نیروهای تراکمی و انبساطی ناشی از احتراق، تا ۱۸۰۰۰ نیوتن نیرو به پیستون وارد می شود که در هنگام رانندگی با سرعت زیاد، این اتفاق در هر سیلندر، سی تا چهل بار در ثانیه رخ می دهد [2]. پیستون ها به دلیل قرار داشتن در محفظه احتراق، تماس با سوخت، حرکت دائمی در سیلندرها، قرار داشتن در معرض فشار زیاد احتراق و زمان کارکرد بالا، باید خواص خستگی، خوردگی و سایشی مناسبی داشته و از سختی مناسبی نیز برخوردار باشند [3]. بدین منظور، به جهت افزایش عمر پیستون ها، باید خواص مکانیکی و خستگی آن ها را به شیوه های مختلف بهبود بخشید که از جمله آن ها می توان به اصلاح روش های ساخت، افزودن عناصر در ابعاد میکرو و نانو به آلیاژ پایه، عملیات حرارتی و نیز پوشش دهی اشاره نمود. در ادامه، به طور اجمالی به ارائه برخی از پژوهش ها در زمینه بهبود خواص مکانیکی آلیاژهای آلومینیوم، پرداخته شده است.

محمدی گنگرج و همکاران [4]، اثر عملیات حرارتی و شرایط خنک سازی را بر فرآیند اصطکاکی کامپوزیت پایه آلومینیومی A390 حاوی مقدار ۱۰ درصد وزنی SiC، مورد بررسی قرار دادند. براساس نتایج، افزودن ذرات تقویتی SiC و نیز اجرای عملیات حرارتی سه مرحله ای، موجب افزایش تنش کششی نهایی و سختی آلیاژ A390 گردید. آلفونز (Alphonse) و همکاران [5]، به مطالعه اثر عملیات حرارتی بر خواص مکانیکی آلیاژ آلومینیوم AA2219 فورج شده، پرداختند. نتایج نشان داد که مقاومت کششی در نتیجه عملیات حرارتی افزایش یافته و نیز افزایش دمای پیرسازی موجب افزایش مقاومت کششی آلیاژ گردیده است. آزادی و همکاران [6]، به بررسی اثر عملیات حرارتی با فرایندهای پیرسازی متفاوت، بر ریزساختار و سختی آلیاژ آلومینیوم پیستون پرداختند. نتایج نشان داد که ۷ ساعت انحلال در دمای ۵۱۵ درجه سانتی گراد و ۷ ساعت پیرسازی در دمای ۲۰۵ درجه سانتی گراد، موجب افزایش سختی آلیاژ پیستون تا مقدار بیشینه خود یعنی ۱۵۳ برینل گردید. راجکرتی (Rajkeerthi) و همکاران [7]، به ارزیابی اثر عملیات حرارتی بر مقاومت کامپوزیت پایه فلزی آلومینیوم پرداختند. براساس نتایج ارائه شده، عملیات حرارتی، موجب بهبود خواص کششی، فشاری

و سختی این آلیاژ گردید. سفرالی و همکاران [8]، اثر عملیات حرارتی T4 و T6 را به ترتیب بر خواص اتصالی آلیاژهای دارای جوش اصطکاکی آلومینیوم ۲۰۲۴ و ۷۰۷۵ بررسی نمودند. نتایج حاکی از بهبود خواص مکانیکی هردو آلیاژ و بهبود چشمگیر آلیاژ آلومینیوم ۷۰۷۵ در نتیجه عملیات حرارتی T6 بود. یوان و همکاران [9]، به پژوهش بر روی اثر عملیات حرارتی بر خواص مکانیکی کامپوزیت پایه آلومینیومی تقویت شده با ذرات آلیاژی انتروپی بالا پرداختند. آن ها گزارش کردند که سختی و مدول الاستیسیته کامپوزیت، به طور چشمگیری افزایش یافته است. پاداپ (Padap) و همکاران [10]، اثر فرآیند پیرسازی و فشار تک محوره را بر خواص دمایی آلیاژ آلومینیوم ۷۰۷۵، مورد بررسی قرار دادند. افزایش سختی، بهبود خواص رسانایی گرمایی و ضریب انبساط حرارتی، از جمله نتایج به دست آمده در نتیجه عملیات حرارتی اجرا شده بود. آزادی و همکاران [11]، به بررسی اثر عملیات حرارتی و افزودن نانوذرات رس بر خواص کششی و خستگی کم چرخه آلیاژ آلومینیوم-سیلیسیم پیستون موتور خودرو در دمای بالا پرداختند. براساس نتایج، تغییرات چشمگیری در خواص مکانیکی آلیاژ تقویت شده با نانوذرات و عملیات حرارتی شامل تنش کششی نهایی، تنش تسلیم و مدول الاستیسیته مشاهده نشده و فقط تغییر طول نمونه تقویت شده، افزایش یافت. یی (Yi) و همکاران [12]، به تحقیق در مورد اثر عملیات حرارتی T6 پس از جوش کاری، بر ریزساختار و خواص مکانیکی اتصالات جوش کاری آلیاژ آلومینیوم ۶۰۶۱، پرداختند. آنان دریافتند که ریزساختار نسبت به زمان و دمای عملیات حرارتی حساس بوده و نیز افزایش دما، یک عامل مفید در راستای کاهش زمان پیرسازی بوده است. آزادی و همکاران [13]، خواص فشاری و سایشی آلیاژ تقویت شده آلومینیوم با نانوذرات سیلیسیم اکسید را پس از عملیات حرارتی، بررسی نمودند. نتایج آزمون سایش نشان داد که نرخ سایش نانو کامپوزیت نسبت به آلیاژ پایه، کمتر بوده و نیز مدول الاستیسیته آلیاژ در نتیجه افزودن نانوذرات، افزایش یافته است. پراکاش (Prakash) و همکاران [14]، به پژوهش در مورد اثر عملیات حرارتی بر ریزساختار و خواص مکانیکی آلیاژ آلومینیوم ۲۰۲۴ جوش کاری شده، پرداختند. براساس نتایج، خواص کششی و سختی این آلیاژ، در نتیجه عملیات حرارتی، بهبود یافت. آزادی و همکاران [15]، اثر عملیات حرارتی و افزودن نانوذرات رس را بر خواص مکانیکی

آزمون‌های مختلف را تعیین نمود. روش مورد استفاده در این پژوهش، تحلیل حساسیت با استفاده از تحلیل‌های آماری است. در این روش، ابتدا باید میانگین مربعات اثر شامل متغیر مدنظر ( $MS_{treatment}$ ) و خطا ( $MS_{error}$ ) اندازه‌گیری شود. هدف نهایی در این روش، به دست آوردن حساسیت اثر باتوجه به روابط (۱) و (۲) است. در نهایت، مقدار به دست آمده با مقدار مرجع ( $F_{a,a-1,N-a}$ ) مقایسه می‌گردد [17].

$$F_0 = \frac{MS_{treatment}}{MS_{error}} \quad (1)$$

$$F_0 > F_{a,a-1,N-a} \quad (2)$$

برای مشخص شدن مقدار  $F_{a,a-1,N-a}$  باید از جدول‌های آماری استفاده شود. در این پژوهش، مقدار سطح ریسک  $\alpha$  برابر با ۰,۰۵ و ضریب اطمینان طراحی آزمون‌ها برابر با ۹۵ درصد در نظر گرفته شده است. مقادیر  $a-1$  و  $N-a$  نیز نشان‌دهنده درجه آزادی اثر و خطا هستند. روابط (۱) و (۲) برای یک اثر، قابل اجرا هستند. شایان ذکر است که این روابط، قابلیت گسترش برای بررسی چندین اثر را دارند [17]. در این پژوهش، کلیه تحلیل‌ها با استفاده از نرم‌افزار تحلیل آماری Design-Expert انجام شده است. پس از تحلیل حساسیت با استفاده از تحلیل رگرسیون، مطابق رابطه (۳)، تابعی براساس متغیرهای مدنظر ( $P_1, P_2, \dots$ ) برای تخمین میزان سختی ارائه شده است.

$$H = C_0 + C_1P_1 + C_2P_2 + C_3P_1P_2 + \dots \quad (3)$$

پس از تطبیق رابطه فوق با نتایج تجربی به دست آمده، ضرایب رابطه (۳) شامل  $C_0, C_1, \dots$  به دست خواهند آمد. در این مقاله، ضریب ثابت، توان اول و دوم و نیز اثرات متقابل آن‌ها، در نظر گرفته شده است.

ذکر این نکته حائز اهمیت است که در تحلیل رگرسیون، اثرگذاری یا عدم اثرگذاری هر پارامتر، با P-value و نیز میزان اثرگذاری هر پارامتر، با F-value تعیین می‌شود. اگر مقدار P-value کمتر از ۰,۰۵ باشد، پارامتر موردنظر، اثرگذار بوده و اگر مقدار آن بیشتر از ۰,۰۵ باشد، پارامتر، بی‌اثر خواهد بود [18]. شایان ذکر است که مقادیر بزرگتر برای F-value بیانگر میزان اثرگذاری بیشتر پارامتر موردنظر است.

### مواد و آزمون‌ها

در این مقاله، به تحلیل حساسیت پارامترهای عملیات حرارتی بر سختی آلیاژ آلومینیوم-سیلیسیم و نیز نانوکامپوزیت پایه‌فلزی آلومینیوم پیستون موتور خودرو، پرداخته شده است. ترکیب شیمیایی آلیاژ آلومینیوم مورد استفاده، در جدول (۱) ارائه شده

و رفتار خستگی کم‌چرخه تنش-کنترل آلیاژ آلومینیوم-سیلیسیم، بررسی کردند. نتایج، عدم تأثیر مثبت نانوذرات رس و عملیات حرارتی را بر خواص مکانیکی آلیاژ، نشان داد. شریفی و همکاران [16]، به تحلیل حساسیت متغیرهای عملیات حرارتی بر خواص مکانیکی آلیاژ آلومینیوم سرسیلندر، به روش رگرسیون، پرداختند. نتایج تحلیل رگرسیون نشان داد که زمان پیرسازی مؤثرتر از دما بوده و دمای انحلال عامل مهم‌تری نسبت به دمای پیرسازی در تغییرات سختی بوده است.

با بررسی مقالات مختلف، می‌توان دریافت که پژوهش‌های بسیاری در زمینه بررسی اثر انواع مختلف عملیات حرارتی، اثر شرایط خنک‌سازی عملیات حرارتی، اثر عملیات حرارتی با دماهای مختلف فرآیند پیرسازی و اثر هم‌زمان عملیات حرارتی و افزودن نانوذرات، بر خواص مکانیکی آلیاژهای آلومینیوم و نیز نانوکامپوزیت پایه‌فلزی آلومینیوم انجام شده است. اما پژوهش در زمینه بررسی اثر هم‌زمان استفاده از نانوذرات رس و نیز عملیات حرارتی با شرایط مختلف دمایی و زمانی فرآیندهای انحلال و پیرسازی بر سختی آلیاژ آلومینیوم-سیلیسیم، به ندرت یافت می‌شود که می‌توان از آن به عنوان نوآوری این پژوهش، یاد نمود.

در این پژوهش، به منظور بررسی شرایط مختلف عملیات حرارتی T6 و اثرات آن بر سختی آلیاژ آلومینیوم و نیز نانوکامپوزیت پایه‌فلزی آلومینیوم، از تحلیل حساسیت به روش رگرسیون استفاده شده است. تحلیل رگرسیون شامل روش‌های مختلفی برای مدل‌سازی و پیش‌بینی توابع هدف براساس متغیرهای ورودی است. در این روش، متغیرها می‌توانند به صورت متغیرهای خاص و منحصر به فرد یا به صورت متغیر وابسته و یک یا چند متغیر مستقل تعریف شوند. تحلیل رگرسیون، به طور ویژه مشخص می‌کند که هر متغیر چگونه و به چه میزان در تابع هدف اثرگذار است. همچنین، تغییر یکی از متغیرها چه اثری و با چه مقدار بر متغیرهای دیگر داشته و این تغییر چه تأثیری بر تابع هدف نهایی خواهد داشت. تحلیل رگرسیون، توانایی مناسبی در ارائه پیش‌بینی از رفتار ماده دارد [17]. پس از به دست آوردن اطلاعات حاصل از آزمون‌های تجربی، تحلیل صحیح و استفاده مناسب از نتایج به دست آمده، از مهمترین بخش‌های پژوهش است. با روش طراحی آزمون‌ها، می‌توان به میزان تأثیر هریک از متغیرها بر نتیجه آزمون دست یافت. همچنین، به کمک این روش، می‌توان حالت‌های بهینه

جزئیات بیشتر در مورد نحوه ساخت نمونه‌ها، در پژوهش پیشین [19] ارائه شده است. شکل (۱)، تصویر میکروسوپ الکترونی نشر میدانی و طیف نمایی اشعه ایکس را از سطح آلیاژ آلومینیوم-سیلیسیم نشان می‌دهد.

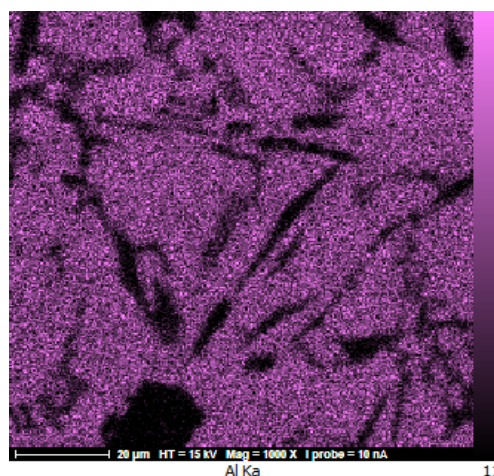
است. به منظور ساخت نانوکامپوزیت پایه فلزی آلومینیوم، مقدار ۱ درصد وزنی نانوذرات رس (Montmorillonite K 10) با روش ریخته‌گری گردابی، به آلیاژ پایه افزوده شد. ترکیب شیمیایی نانوذرات رس مورد استفاده در جدول (۲) قابل مشاهده است.

جدول ۱ ترکیب شیمیایی آلیاژ آلومینیوم-سیلیسیم مورد استفاده

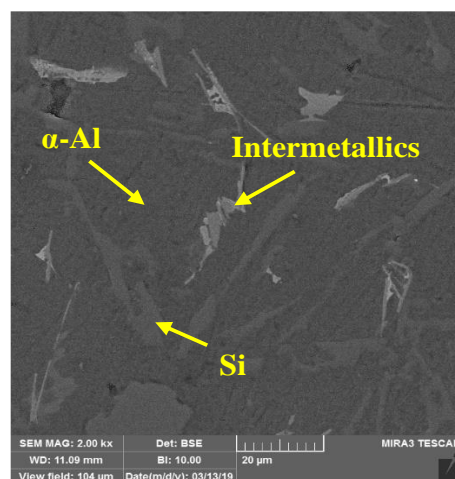
| عنصر              | آلومینیوم | سیلیسیم | مس   | منیزیم | نیکل | آهن  | روی  | منگنز |
|-------------------|-----------|---------|------|--------|------|------|------|-------|
| مقدار (درصد وزنی) | ۸۳,۳۰     | ۱۲,۷۰   | ۱,۱۶ | ۱,۰۰   | ۰,۸۰ | ۰,۵۶ | ۰,۱۶ | ۰,۱۲  |

جدول ۲ ترکیب شیمیایی نانوذرات رس مورد استفاده

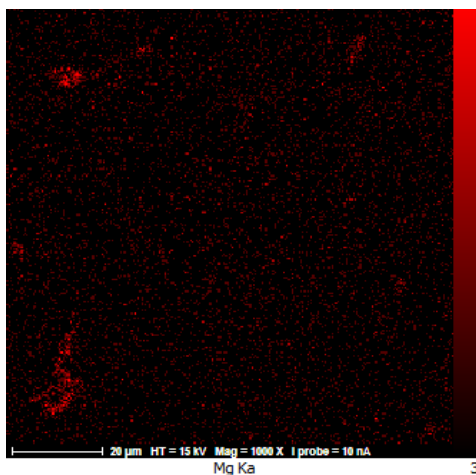
| ترکیب        | سیلیسیم اکسید | آلومینیوم اکسید | آهن اکسید | منیزیم اکسید | کلسیم اکسید | سدیم اکسید | پتاسیم اکسید | تیتانیم اکسید | سایر  |
|--------------|---------------|-----------------|-----------|--------------|-------------|------------|--------------|---------------|-------|
| مقدار (درصد) | ۵۰,۹۵         | ۱۹,۶۰           | ۵,۶۲      | ۳,۲۹         | ۱,۹۷        | ۰,۹۸       | ۰,۸۶         | ۰,۶۲          | ۱۵,۴۵ |



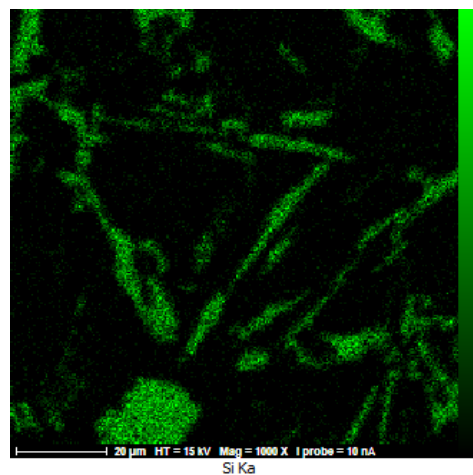
(ب)



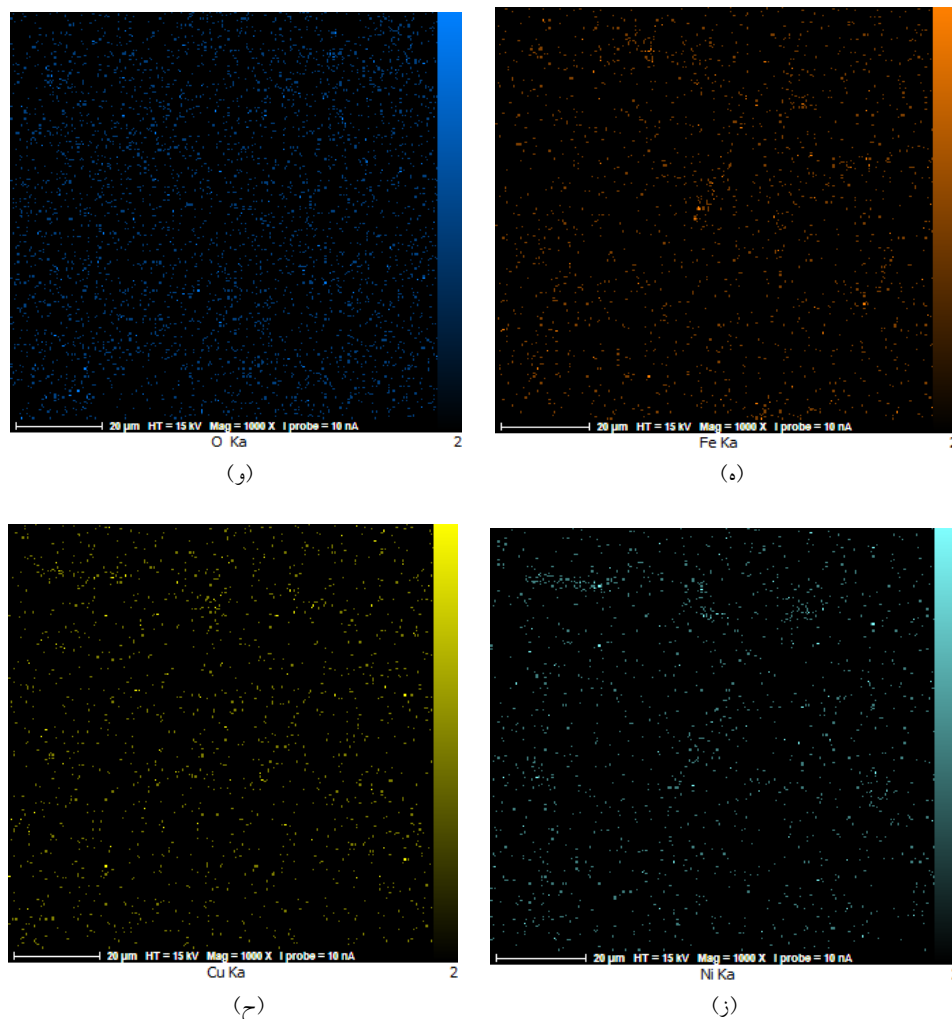
(الف)



(د)



(ج)



شکل ۱ (الف) تصویر میکروسکوپ الکترونی نشر میدانی از سطح آلیاژ آلومینیوم-سیلیسیم، (ب) توزیع عنصر آلومینیوم، (ج) توزیع عنصر سیلیسیم، (د) توزیع عنصر منیزیم، (ه) توزیع عنصر آهن، (و) توزیع عنصر اکسیژن، (ز) توزیع عنصر نیکل و (ح) توزیع عنصر مس

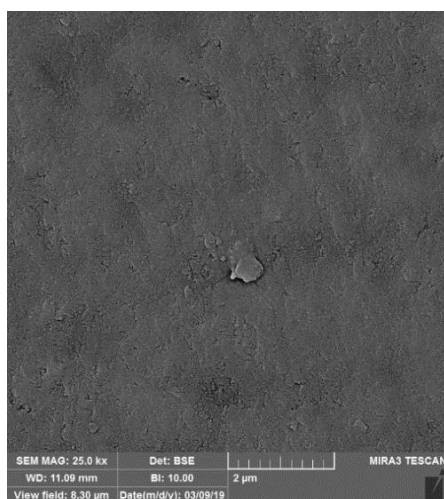
اتصال ذرات بین فلزی به فاز زمینه به دلیل مکانیزم مقاومتی، برای خواص مکانیکی یک مزیت محسوب می شود [22]. ذرات سیلیسیم و نیز ذرات بین فلزی دارای مدول الاستیسته و سختی بالاتری هستند که تأثیر چشمگیری بر خواص مکانیکی مخصوصاً در دماهای بالا دارند [23,24]. ذرات بین فلزی به دلیل پایداری دمایی و خواص مکانیکی مناسب تر، اثر بیشتری بر خواص دما بالای آلیاژ آلومینیوم-سیلیسیم پیستون دارند [25,26]. تغییر اندازه و مورفولوژی سیلیسیم یوتکتیک، اثر چشمگیری بر خواص مکانیکی دارد [22]. وجود عنصر نیکل در فاز بین فلزی سبب افزایش سختی آلیاژ می گردد [27]. افزایش سختی آلیاژ در نتیجه افزایش مقادیر سیلیسیم و نیکل در آلیاژ به دلیل بیشتر بودن تنش تسلیم نیکل در فاز بین فلزی است [27]. به طور کل، وجود عنصر نیکل در آلیاژ ریختگی آلومینیوم-سیلیسیم با مقادیر بالای عنصر

به منظور بررسی اثر توزیع یکنواخت و عدم انباشتگی نانوذرات رس در سطح نمونه، تصویر میکروسکوپ الکترونی نشر میدانی و طیف نمایی اشعه ایکس از سطح نانوکامپوزیت پایه فلزی آلومینیوم نیز در شکل (۲) ارائه شده است. شایان ذکر است که به منظور افزایش وضوح تصویر، سطح نمونه با لایه ای از طلا به ضخامت ۲۰ میکرومتر، پوشش داده شده است. در شکل (۱) و (۲)، فاز زمینه (آلومینیوم)، ذرات سیلیسیم و نیز ذرات بین فلزی شامل عناصر منیزیم، نیکل، آهن، منگنز، روی و مس قابل مشاهده است [19]. همچنین، واضح است که در سطح نانوکامپوزیت پایه فلزی، اثری از انباشتگی نانوذرات وجود نداشته و در نتیجه، توزیع، یکنواخت بوده است. وجود ذرات بین فلزی شامل عناصر سیلیسیم، آهن، مس و نیکل، موجب بهبود خواص مکانیکی آلیاژ علی الخصوص در دماهای بالا می گردد [20,21].

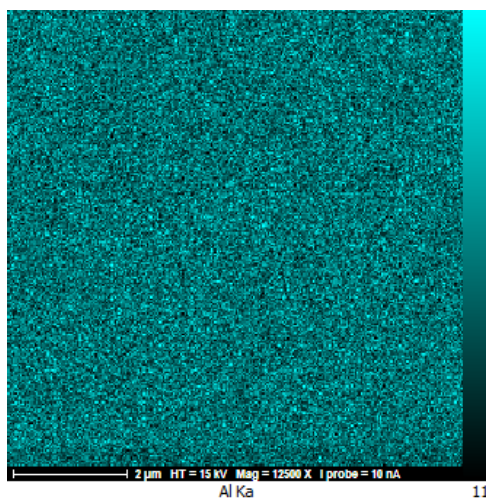
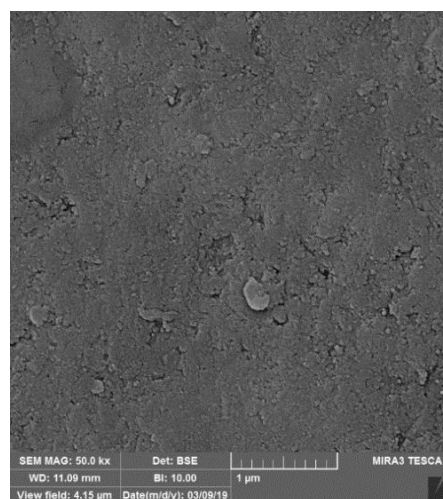


در دماهای ۲۰۰، ۲۱۵ و ۲۳۰ درجه سانتی گراد و خنک‌سازی در هوا بوده است. براساس نتایج ارائه شده در مرجع [38]، دمای خنک‌سازی و زمان پیرسازی، اثر چشمگیری بر سختی ندارند. عملیات حرارتی، معمولاً موجب افزایش کرنش شکست نمونه و نیز تغییر در شکل و اندازه ذرات بین‌فلزی می‌شود [38,39]. عملیات حرارتی T6، موجب بهبود ریزساختار، افزایش مقاومت کششی و عمر خستگی دمابالای آلیاژ آلومینیوم می‌گردد [40]. براساس گزارش‌های ارائه شده در مرجع [41]، مواد پس از عملیات حرارتی T6، سختی بیشتری نسبت به سایر عملیات حرارتی (T4، T5، T7، T8 و T9) داشته‌اند. پس از اجرای عملیات حرارتی با شرایط مختلف انحلال و پیرسازی، نمونه‌ها تحت آزمون سختی سنجی قرار گرفتند.

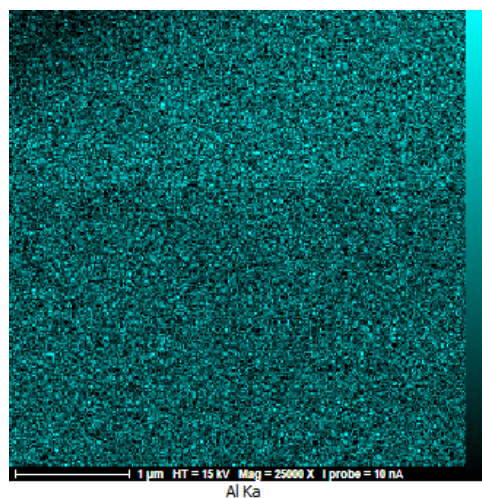
آهن، موجب بهبود خواص مکانیکی می‌گردد [27]. پس از آماده‌سازی نمونه‌ها، به‌منظور اجرای فرآیندهای عملیات حرارتی، قطعات کوچکی از استوانه ریخته‌گری شده، برش خورده و آماده اجرای فرآیند شد. شکل (۳)، مراحل مختلف ساخت تا سختی-سنجی نمونه‌ها را نشان می‌دهد. با توجه به اینکه عملیات حرارتی T6 موجب افزایش سختی آلیاژ آلومینیوم می‌شود [28]، در این پژوهش پس از مطالعه مراجع مختلف [29-37]، [6] و با بررسی-های صورت گرفته در زمینه کاربرد صنعتی این آلیاژ، شرایط مختلفی از انحلال و پیرسازی جهت آزمایش، انتخاب گردید که جزئیات آن، در جدول (۳)، ارائه شده است. شایان ذکر است که عملیات حرارتی اجرا شده بر روی آلیاژ آلومینیوم-سیلیسیم و نیز نانوکامپوزیت پایه فلزی، شامل ۱، ۳ و ۵ ساعت انحلال در دمای ۵۰۰ درجه سانتی گراد و خنک‌سازی در آب و ۶ ساعت پیرسازی



(الف)

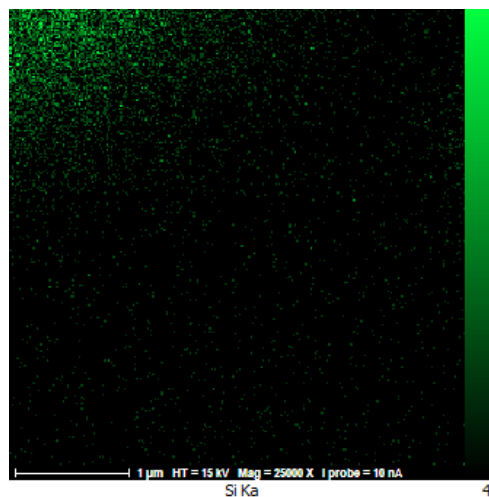
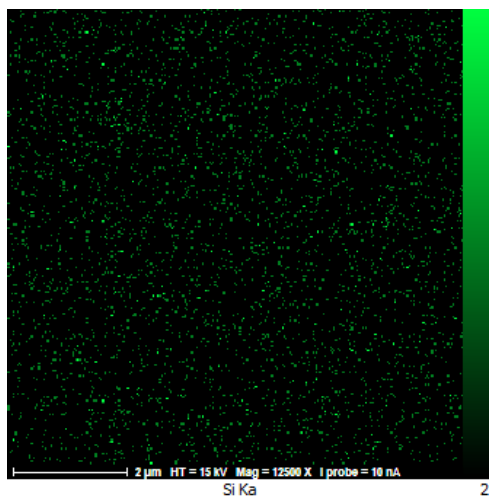


11

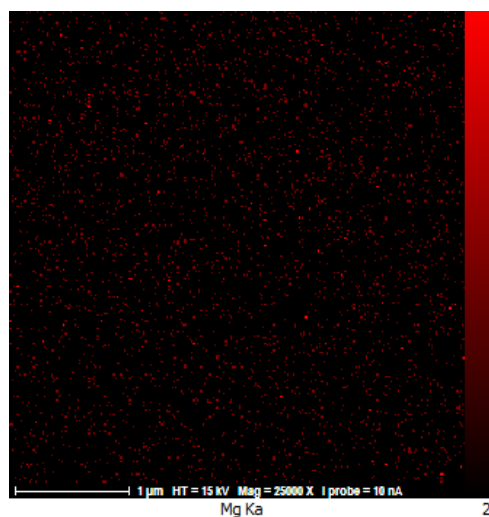
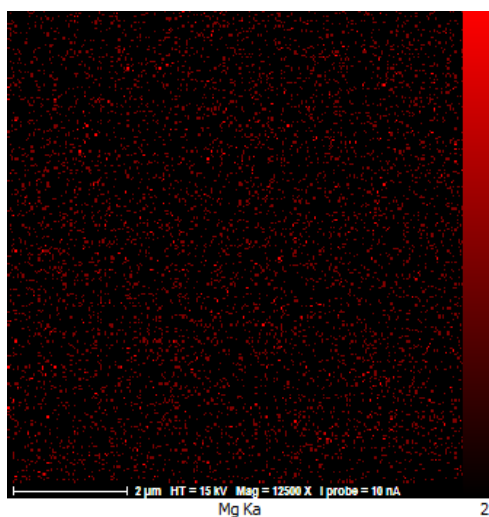


7

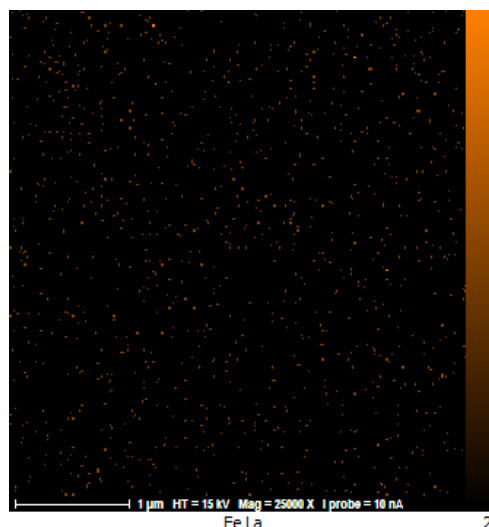
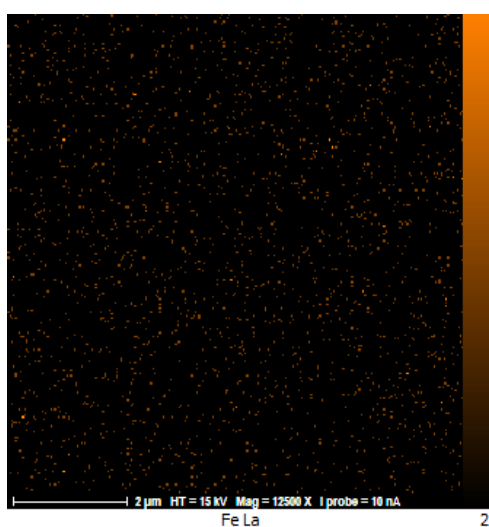
(ب)



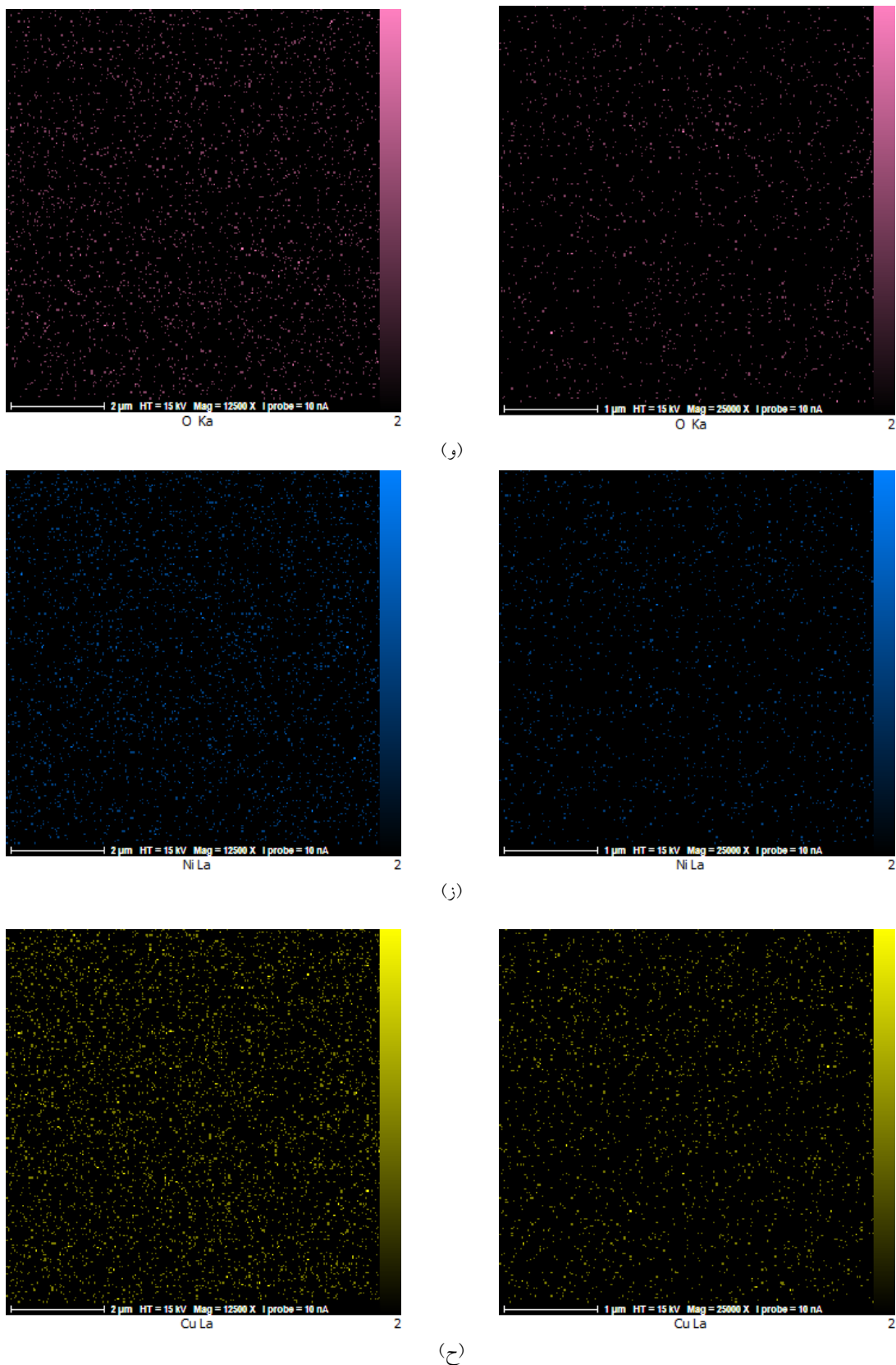
(ج)



(د)

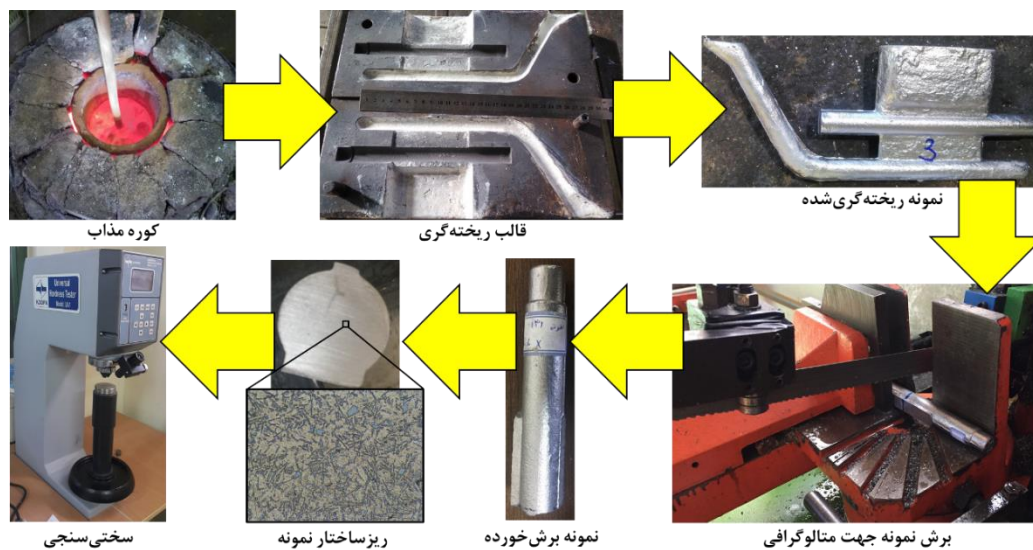


(ه)



شکل ۲ (الف) تصویر میکروسکوپ الکترونی نشر میدانی از سطح نانوکامپوزیت پایه فلزی آلومینیوم-سیلیسیم، (ب) توزیع عنصر آلومینیوم، (ج) توزیع عنصر سیلیسیم، (د) توزیع عنصر منیزیم، (ه) توزیع عنصر آهن، (و) توزیع عنصر اکسیژن، (ز) توزیع عنصر نیکل و (ح) توزیع عنصر مس





شکل ۳ مراحل مختلف ساخت تا سختی سنجی نمونه‌ها

جدول ۳ جزئیات فرآیند عملیات حرارتی T6 اجرا شده بر روی نمونه‌ها

| نوع عملیات حرارتی | انحلال                |             | پیرسازی               |             |
|-------------------|-----------------------|-------------|-----------------------|-------------|
|                   | دما (درجه سانتی گراد) | زمان (ساعت) | دما (درجه سانتی گراد) | زمان (ساعت) |
| T6-1              | ۵۰۰                   | ۱           | ۲۰۰                   | ۶           |
| T6-2              |                       |             | ۲۱۵                   |             |
| T6-3              |                       |             | ۲۳۰                   |             |
| T6-4              | ۵۰۰                   | ۳           | ۲۰۰                   | ۶           |
| T6-5              |                       |             | ۲۱۵                   |             |
| T6-6              |                       |             | ۲۳۰                   |             |
| T6-7              | ۵۰۰                   | ۵           | ۲۰۰                   | ۶           |
| T6-8              |                       |             | ۲۱۵                   |             |
| T6-9              |                       |             | ۲۳۰                   |             |

شایان ذکر است که آزمایش سختی سنجی با استفاده از دستگاه KOOPA Universal Hardness Tester مدل UV1 و با روش ویکرز بر روی نمونه‌ها اجرا گردید. به منظور اطمینان از دقت نتایج به دست آمده، آزمون‌ها سه بار بر روی هر نمونه اجرا شدند که شامل یک آزمون و دو تکرارپذیری بود.

شایان ذکر است که براساس داده‌های ارائه شده در جدول (۳)، دمای فرآیند انحلال و زمان فرآیند پیرسازی در تمامی موارد، به ترتیب برابر با ۵۰۰ درجه سانتی گراد و ۶ ساعت در نظر گرفته شده است. براساس نتایج ارائه شده در جدول (۴)، بیشترین میزان سختی برای آلیاژ آلومینیوم-سیلیسیم برابر با ۱۴۸ ویکرز و مربوط به عملیات حرارتی با زمان انحلال ۵ ساعت و دمای پیرسازی ۲۰۰ درجه سانتی گراد و کمترین آن، برابر با ۱۰۹،۶۷ ویکرز و مربوط به عملیات حرارتی با زمان انحلال ۳ ساعت و دمای پیرسازی ۲۳۰ درجه سانتی گراد بوده است. همچنین، بیشترین میزان سختی برای نانوکامپوزیت پایه فلزی برابر با ۱۴۶ ویکرز و مربوط به

شایان ذکر است که آزمایش سختی سنجی با استفاده از دستگاه KOOPA Universal Hardness Tester مدل UV1 و با روش ویکرز بر روی نمونه‌ها اجرا گردید. به منظور اطمینان از دقت نتایج به دست آمده، آزمون‌ها سه بار بر روی هر نمونه اجرا شدند که شامل یک آزمون و دو تکرارپذیری بود.

### نتایج و بحث

در این مقاله، به بررسی اثر استفاده هم‌زمان از نانوذرات رس و عملیات حرارتی بر سختی آلیاژ آلومینیوم-سیلیسیم پیستون موتور خودرو پرداخته شده است. نتایج تجربی سختی سنجی آلیاژ عملیات حرارتی شده آلومینیوم پیستون موتور خودرو با و بدون

مشاهدات مشابهی در مورد فازهای آلیاژ آلومینیوم پیستون در مراجع [25,48] گزارش شده است. تغییرات ریز ساختاری پس از اجرای فرآیند عملیات حرارتی، کاملاً مشهود است [49,50]. خواص مکانیکی آلیاژ آلومینیوم-سیلیسیم، بیشتر تحت تأثیر ذرات بلوکی شکل سیلیسیم است [19] و [51-53]. به عبارت دیگر، حضور ذرات سیلیسیم به شکل بلوکی، موجب افزایش خواص مکانیکی آلیاژ می گردد [54,55]. در واقع، ذرات سیلیسیم که به شکل نامنظم در فاز زمینه وجود داشته، پس از اجرای عملیات حرارتی، به شکل منظم و یکنواخت توزیع شده است [39,49,56]. به طور کل، اجرای این نوع عملیات حرارتی، موجب ایجاد دو تغییر عمده در آلیاژهای آلومینیوم شده است؛ یکی بهبود شکل پذیری (Ductility) و چقرمگی شکست (Fracture Toughness) در نتیجه کروی شدن ذرات سیلیسیم [57] و دیگری، بهبود تنش تسلیم [57,58]. اثر اول، از فرآیند انحلال و اثر دوم، از ترکیب فرآیند انحلال، خنک سازی و پیرسازی مصنوعی حاصل گردیده است [49,59,60]. با افزایش سختی آلیاژ آلومینیوم پس از اجرای عملیات حرارتی T6، می توان انتظار افزایش خواص مکانیکی و نیز بهبود عمر خستگی کم چرخه این آلیاژ را در دمای محیط داشت که این امر، در نتیجه کروی شدن ذرات سیلیسیم است [49]. خنک سازی پس از فرآیند انحلال، موجب ایجاد مس جامد فوق اشباع در فاز زمینه می گردد [50]. طی فرآیند انحلال، ترکیبات حاوی مس ساخته شده و پس از فرآیند پیرسازی رسوب می کنند [50]. در نتیجه فرآیند پیرسازی، خواص مکانیکی آلیاژ آلومینیوم بهبود می یابد [39]. تئوری نابه-جایی ها، افزایش خواص مکانیکی را پس از عملیات حرارتی T6، توجیه می کند. تحرک نابه جایی ها با ذرات رسوب کرده محدود می شود که در نتیجه این محدودیت، حرکت نابه جایی آهسته شده و مقاومت کششی افزایش می یابد [61]. مطابق تصویر ریز ساختار نمونه ها در شکل (۴) می توان دریافت که اندازه ذرات سیلیسیم در نتیجه افزودن نانوذرات رس، بیشتر شده شده که این امر باتوجه به وجود حدود ۵۰ درصد سیلیسیم اکسید در ترکیب شیمیایی نانوذرات رس، مورد انتظار بوده است. ذکر این نکته حائز اهمیت است که عملیات حرارتی، تغییری در مقدار ذرات سیلیسیم ایجاد نکرده و فقط اندازه ذرات را دچار تغییراتی می- نماید [62].

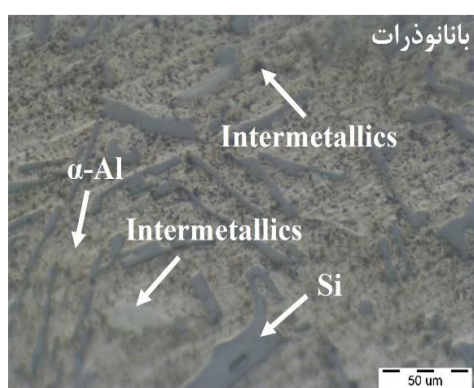
عملیات حرارتی با زمان انحلال ۵ ساعت و دمای پیرسازی ۲۰۰ درجه سانتی گراد و کمترین آن، برابر با ۱۱۴،۳۳ ویکرز و مربوط به عملیات حرارتی با زمان انحلال ۳ ساعت و دمای پیرسازی ۲۳۰ درجه سانتی گراد بوده است. بررسی مراجع مختلف نشان داد که سختی به دست آمده برای هردو نوع نمونه با شرایط عملیات حرارتی مختلف، در بازه سختی ارائه شده برای آلیاژ پیستون در مراجع [42,43] بوده است.

بر این اساس، با افزایش دمای فرآیند پیرسازی در عملیات حرارتی، از میزان سختی هردو نوع نمونه، کاسته شده است که این امر با نتایج ارائه شده در مرجع [38] مطابقت دارد. همچنین، در مراجع [44,45] نیز نتایجی مشابه با نتایج به دست آمده در ای پژوهش پزارش شده که بر مبنای آن، افزایش دمای پیرسازی موجب کاهش شدید سختی آلیاژ آلومینیوم شده است. بر اساس نتایج ارائه شده در جدول (۴)، در دمای پیرسازی ۲۰۰ درجه سانتی گراد، زمان انحلال با میزان سختی رابطه مستقیم داشته، بدان معنا که با افزایش زمان فرآیند انحلال بر سختی هردو نوع نمونه افزوده شده است. نتایج ارائه شده در جدول (۴) نشان می دهد که طی عملیات حرارتی با زمان پیرسازی ۶ ساعت و دمای ۲۰۰ درجه سانتی گراد، افزودن نانوذرات رس به آلیاژ آلومینیوم-سیلیسیم، موجب کاهش سختی شده است. با بررسی نتایج جدول (۴)، واضح است که اثر دمای پیرسازی بر میزان سختی نمونه بدون نانوذرات و با نانوذرات از اثر زمان انحلال بیشتر بوده است. بر اساس نتایج ارائه شده در مرجع [46]، با شرایط زمانی یکسان برای فرآیند پیرسازی، افزایش دما موجب کاهش سختی آلیاژ آلومینیوم شده که این امر به تغییرات ریز ساختاری مربوط بوده است. در مرجع [16] نیز به این مسئله اشاره شده است که افزایش دمای فرآیند پیرسازی، موجب کاهش میزان سختی آلیاژ آلومینیوم شده و در مقابل، افزایش زمان این فرآیند، سختی بیشتر آلیاژ را موجب گردیده و به طور کل، وابستگی سختی آلیاژ آلومینیوم به فرآیند پیرسازی بیشتر از وابستگی آن به فرآیند انحلال است.

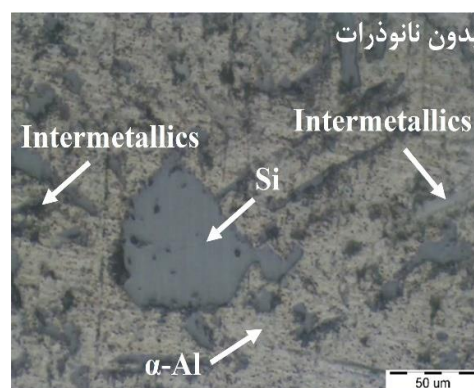
شکل (۴)، تصویر میکروسکوپ نوری را از سطح آلیاژ آلومینیوم-سیلیسیم و نیز نانوکامپوزیت پایه فلزی آلومینیوم عملیات حرارتی شده با روش های مختلف (بر اساس کدگذاری جدول ۳) را نشان می دهد. فاز آلومینیوم زمینه، ذرات سیلیسیم و ذرات بین فلزی، در ریز ساختار، با فلش مشخص شده اند. شایان ذکر است که در این شکل، ذرات بین فلزی با رنگ روشن، نشان دهنده ترکیبات آلومینیوم-مس و ذرات بین فلزی با رنگ تیره، نشان دهنده ترکیبات آلومینیوم-آهن هستند [47].

جدول ۴ نتایج تجربی سختی سنجی آلیاژ آلومینیوم-سیلیسیم و نانوکامپوزیت پایه فلزی آلومینیوم

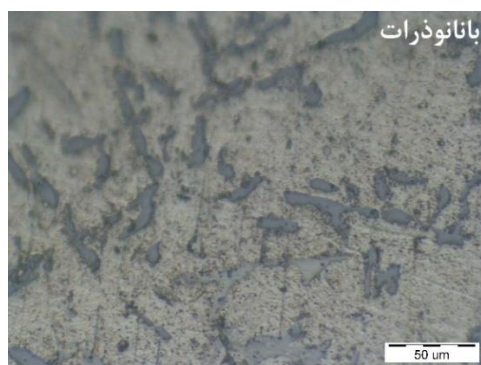
| نمونه         | زمان انحلال<br>(ساعت) | دمای پیرسازی (درجه سانتی گراد) |              |            |              |            |              |
|---------------|-----------------------|--------------------------------|--------------|------------|--------------|------------|--------------|
|               |                       | ۲۰۰                            |              | ۲۱۵        |              | ۲۳۰        |              |
|               |                       | سختی ویکرز                     | انحراف معیار | سختی ویکرز | انحراف معیار | سختی ویکرز | انحراف معیار |
| بدون نانوذرات | ۱                     | ۱۴۱.۶۷                         | ۰.۹۴         | ۱۳۳.۶۷     | ۲.۳۶         | ۱۱۷.۰۰     | ۱.۶۳         |
|               | ۳                     | ۱۴۵.۰۰                         | ۲.۹۴         | ۱۳۲.۶۷     | ۰.۹۴         | ۱۰۹.۶۷     | ۳.۳۰         |
|               | ۵                     | ۱۴۸.۰۰                         | ۰.۸۲         | ۱۲۹.۰۰     | ۲.۱۶         | ۱۱۴.۶۷     | ۱.۲۵         |
| با نانوذرات   | ۱                     | ۱۳۸.۳۳                         | ۲.۸۷         | ۱۳۳.۰۰     | ۲.۱۶         | ۱۱۶.۰۰     | ۰.۸۲         |
|               | ۳                     | ۱۴۱.۶۷                         | ۰.۹۴         | ۱۳۵.۳۳     | ۱.۲۵         | ۱۱۴.۳۳     | ۳.۰۹         |
|               | ۵                     | ۱۴۶.۰۰                         | ۲.۴۵         | ۱۲۵.۶۷     | ۳.۰۹         | ۱۲۴.۰۰     | ۱.۶۳         |



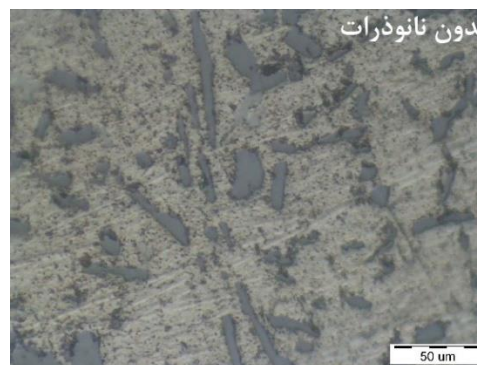
(ب)



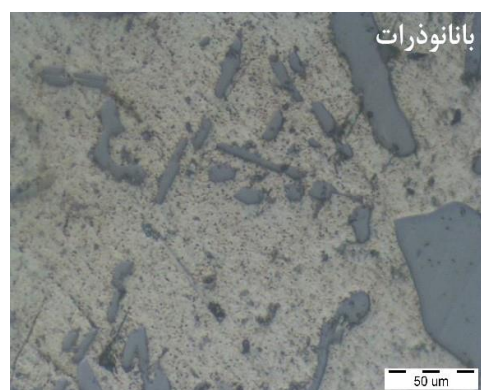
(الف)



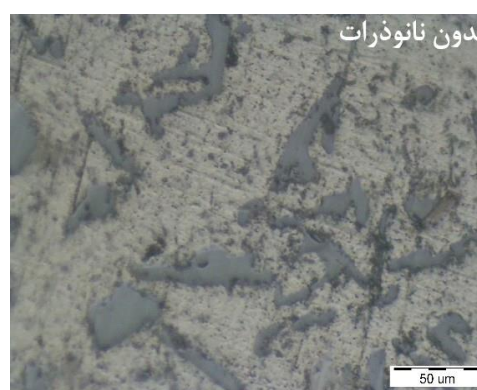
(د)



(ج)

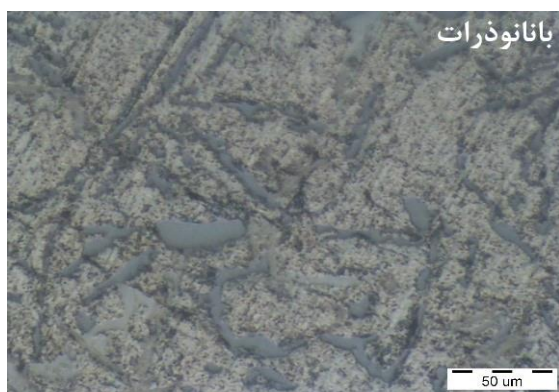


(و)

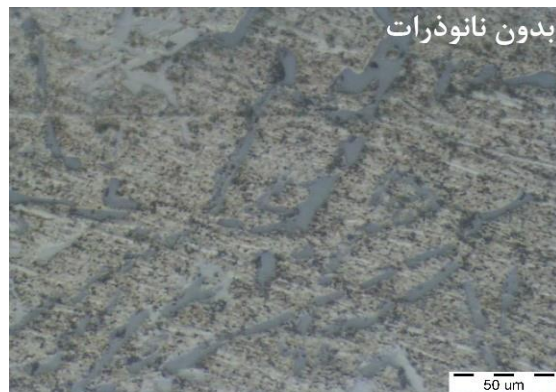


(ه)

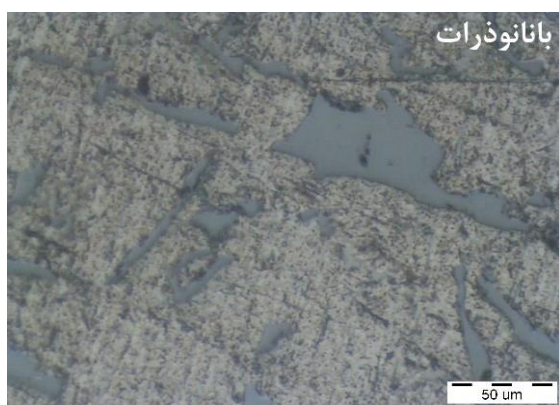




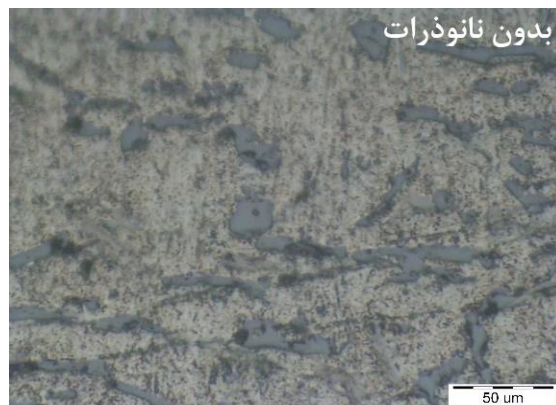
(ح)



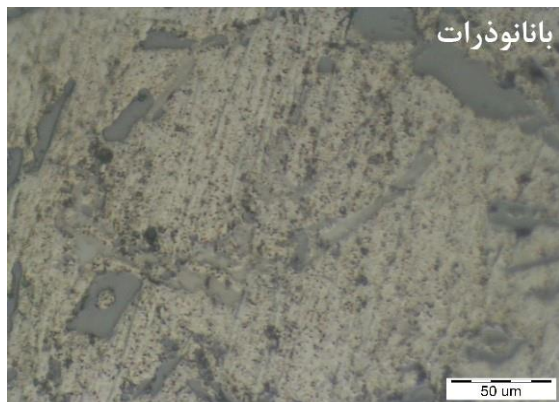
(ز)



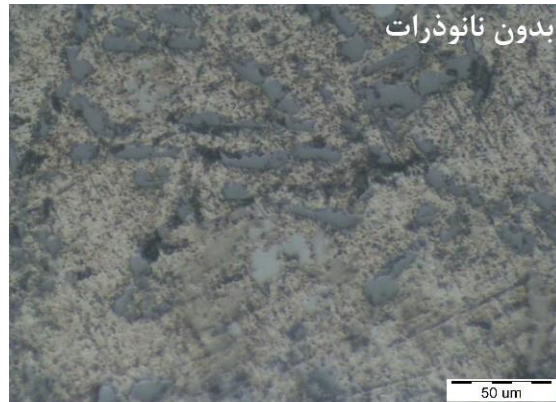
(ی)



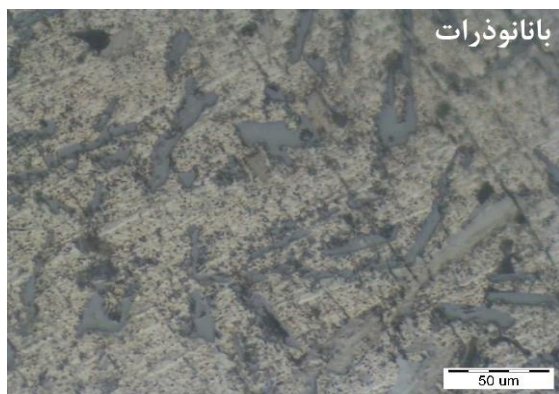
(ط)



(ج)



(ک)

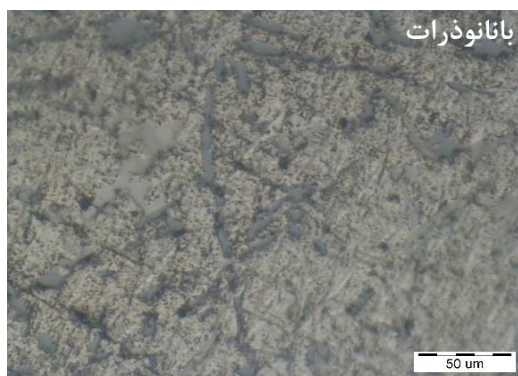


(ن)

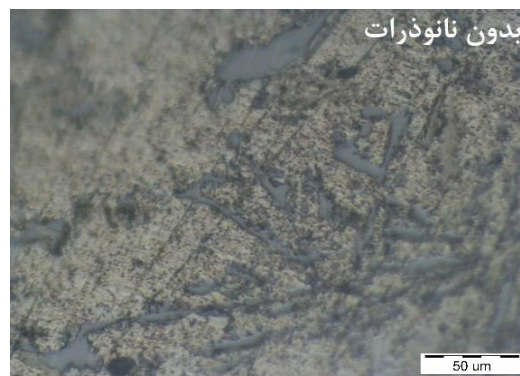


(م)





(ع)



(س)



(ص)



(ف)

شکل ۴: تصویر میکروسکوپ نوری از سطح نمونه عملیات حرارتی شده با کد (الف) و (ب) T6-1، (ج) و (د) T6-2، (ه) و (و) T6-3، (ز) و (ح) T6-4، (ط) و (ی) T6-5، (ک) و (ل) T6-6، (م) و (ن) T6-7، (س) و (ع) T6-8، (ف) و (ص) T6-9

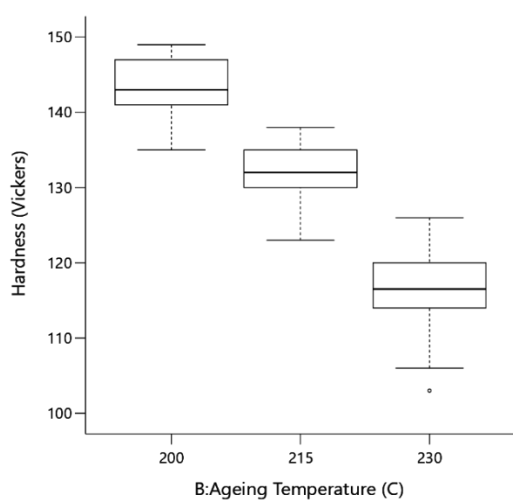
خطا برای پارامتر  $T_a \times N$  وجود دارد. درواقع احتمال رخداد پارامتر  $T_a$  و  $T_a \times N$  به ترتیب برابر با ۹۹,۹۹ درصد و ۹۷,۱۲ درصد خواهد بود. شکل (۵)، تغییرات سختی را برحسب پارامترهای مختلف شامل زمان انحلال، دمای پیرسازی و استفاده از نانوذرات رس، به شکل جداگانه، نشان می دهد. مطابق شکل، پراکندگی داده های ناشی از تغییرات زمان انحلال و نیز افزودن نانوذرات رس، نسبت به پراکندگی داده های مربوط به تغییرات دمای پیرسازی، بیشتر بوده است. با افزایش زمان انحلال به ۵ ساعت، از سختی نمونه به مقدار کمی کاسته شده است. درمقابل، شدت کاهش سختی نمونه بر اثر افزایش دمای پیرسازی، بسیار بیشتر بوده است. همچنین، استفاده از نانوذرات تقویتی رس نیز اندک اثر مثبتی در افزایش میزان سختی آلیاژ آلومینیوم-سیلیسیم داشته است. براساس نتایج ارائه شده در مرجع [63]، اثر فرآیند پیرسازی بر سختی آلیاژ آلومینیوم، بیشتر از اثر فرآیند انحلال بوده به طوری که اجرای دومرحله ای فرآیند پیرسازی بر روی آلیاژ آلومینیوم ۷۰۷۵، افزایش ۲۸ درصدی سختی آن را درمقایسه با اجرای تک مرحله ای آن در پی داشته است.

مطابق مطالب پیشین، در این پژوهش به منظور انجام تحلیل حساسیت پارامترهای عملیات حرارتی و نیز استفاده از نانوذرات رس بر سختی آلیاژ آلومینیوم-سیلیسیم، از روش تحلیل رگرسیون استفاده شده است. جدول (۵)، مقادیر P-value و F-value را برای پارامترهای مختلف عملیات حرارتی، نشان می دهد. شایان ذکر است که در این جدول، اثرگذاری یا عدم اثرگذاری و نیز میزان اثرگذاری نانوذرات رس ( $N$ )، پارامترهای عملیات حرارتی شامل زمان انحلال ( $t_s$ )، دمای پیرسازی ( $T_a$ ) و نیز اثرات متقابل هریک از پارامترها، ارائه شده است. پیشتر نیز گفته شد که مقادیر کوچکتر از ۰,۰۵ برای P-value بیانگر اثرگذار بودن پارامتر موردنظر است. همچنین، مقادیر بزرگتر برای F-value، نشان از اثرگذاری بیشتر پارامتر دارد.

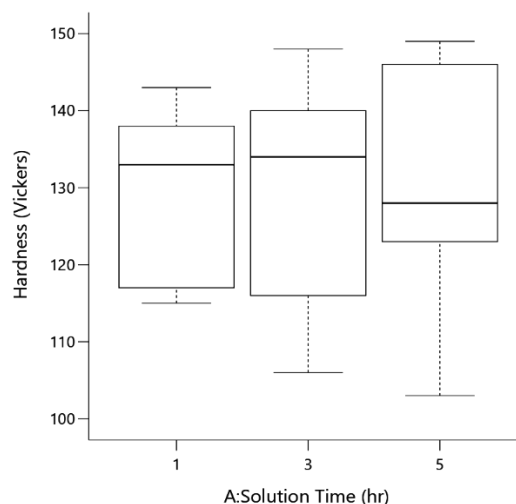
براساس نتایج ارائه شده در جدول (۵)، دمای پیرسازی، با P-Value کمتر از ۰,۰۰۰۱ و نیز اثر متقابل دمای پیرسازی و استفاده از نانوذرات رس با P-Value برابر با ۰,۰۲۸۸، پارامترهای با اثر چشمگیر در سختی هستند. بر این اساس، کمتر از ۰,۰۱ درصد احتمال خطا برای پارامتر  $T_a$  و نیز کمتر از ۳ درصد احتمال بروز

جدول ۵ اثرگذاری و میزان اثرگذاری هریک از پارامترهای مختلف بر میزان سختی

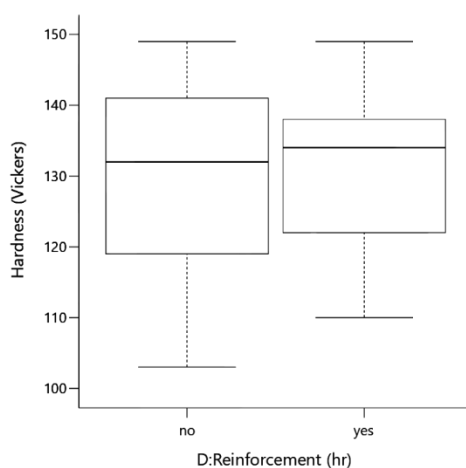
| پارامتر                             | P-value | F-value  | اثرگذاری | R <sup>2</sup> |
|-------------------------------------|---------|----------|----------|----------------|
| t <sub>s</sub>                      | ۰,۲۸۶۹  | ۱,۱۶۰۰   | کم       | ۸۷,۴۳          |
| T <sub>a</sub>                      | <۰,۰۰۰۱ | ۲۹۳,۸۶۰۰ | زیاد     |                |
| N                                   | ۱,۰۰۰۰  | ۰,۰۰۰۰   | کم       |                |
| t <sub>s</sub> × t <sub>s</sub>     | ۰,۴۳۷۹  | ۰,۶۱۳۰   | کم       |                |
| T <sub>a</sub> × T <sub>a</sub>     | ۰,۱۱۱۱  | ۲,۶۴۰۰   | کم       |                |
| t <sub>s</sub> × T <sub>a</sub>     | ۰,۳۱۲۳  | ۱,۰۴۰۰   | کم       |                |
| t <sub>s</sub> × N                  | ۰,۵۱۲۳  | ۰,۴۳۶۵   | کم       |                |
| T <sub>a</sub> × N                  | ۰,۰۲۸۸  | ۵,۱۱۰۰   | زیاد     |                |
| t <sub>s</sub> × T <sub>a</sub> × N | ۰,۲۷۴۲  | ۱,۲۳۰۰   | کم       |                |



(ب)



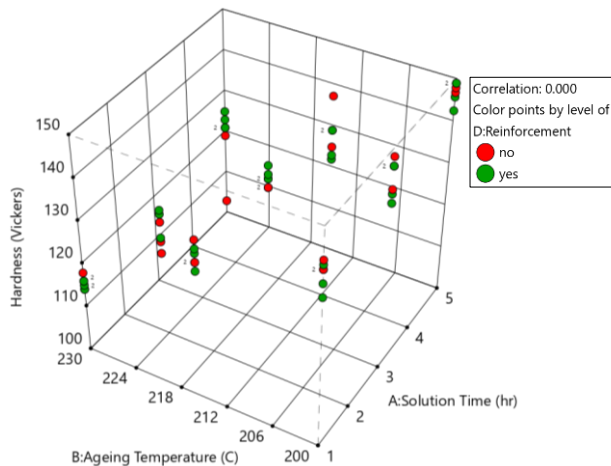
(الف)



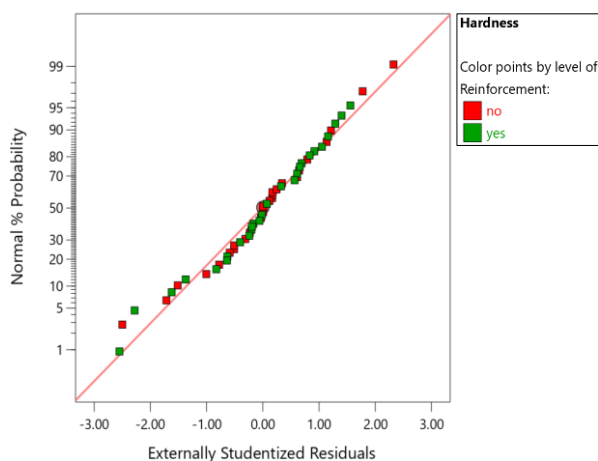
(ج)

شکل ۵ تغییرات سختی برحسب پارامترهای مختلف شامل (الف) زمان انحلال، (ب) دمای پیرسازی و (ج) نانوذرات رس

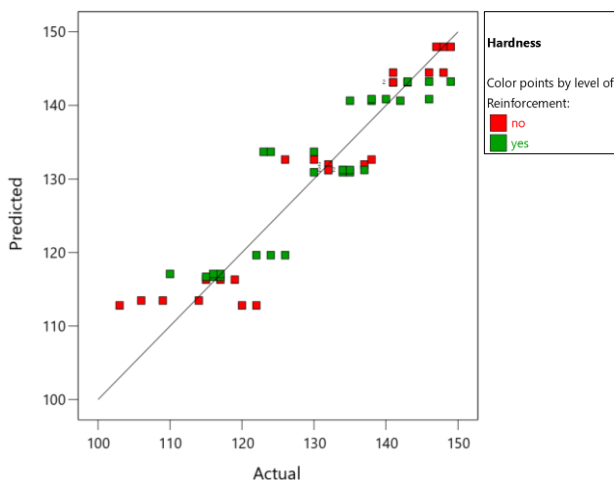




شکل ۶ نمودار سختی برحسب زمان انحلال و دمای پیرسازی برای نمونه با و بدون نانوذرات رس



شکل ۷ توزیع نرمال داده‌های سختی برای نمونه‌های با و بدون نانوذرات رس



شکل ۸ پراکندگی داده‌های تجربی و تئوری سختی برای نمونه‌های با و بدون نانوذرات رس

با مشاهده نتایج شکل (۵)، می‌توان دریافت که با کاهش زمان انحلال و نیز افزایش دمای پیرسازی، سختی نمونه کاهش یافته است. براساس نتایج ارائه شده در مرجع [38] نیز افزایش دما موجب کاهش سختی آلیاژ گردیده است.

معادله به‌دست‌آمده برای سختی براساس نتایج تحلیل رگرسیون پارامترهای موردبررسی، در رابطه (۴) ارائه شده است. شایان ذکر است که رابطه حاصل از پارامترهای تعریف‌شده پاسخ به‌دست‌آمده، برای شرایط مختلف عملیات حرارتی برروی آلیاژ موردنظر، قابل استفاده است [64]. از این روش، می‌توان در ارزیابی خواص مختلف آلیاژ آلومینیوم شامل مقاومت تسلیم، مقاومت ضربه، سختی و نیز خواص خستگی، استفاده نمود [64-66].

$$\begin{aligned} \text{Hardness} = & 0.8611 \times t_s - 13.69 \times T_a + 1.08 \times t_s^2 \\ & - 2.25 \times T_a^2 - t_s \times T_a + 0.5278 \times t_s \times N \\ & + 1.81 \times T_a \times N + 1.08 \times t_s \times T_a \times N \end{aligned} \quad (4)$$

شکل (۶)، نمودار سختی را برحسب زمان انحلال و دمای پیرسازی نشان می‌دهد. براساس نتایج ارائه شده در این شکل، بیشترین میزان سختی برای آلیاژ آلومینیوم-سیلیسیم، با اجرای عملیات حرارتی با زمان انحلال ۵ ساعت دمای پیرسازی ۲۰۰ درجه سانتی‌گراد، به‌دست آمده است. همچنین مشاهده می‌شود که افزایش زمان انحلال از ۱ ساعت به ۵ ساعت موجب افزایش تدریجی سختی شده است. واضح است که افزایش دمای فرآیند پیرسازی موجب کاهش سختی گردیده است. نتایج ارائه‌شده در مراجع [5,67] نیز مؤید نتایج به‌دست‌آمده در این پژوهش مبنی بر کاهش میزان سختی نمونه در نتیجه افزایش دمای پیرسازی است.

شکل (۷)، توزیع نرمال خطی داده‌های سختی را نشان می‌دهد. شکل (۸)، پراکندگی نتایج تجربی حاصل از آزمون سختی سنجی را نسبت به داده‌های تئوری سختی به‌دست‌آمده با رابطه (۴) نشان می‌دهد. براساس نتایج ارائه شده در شکل (۸)، پراکندگی داده‌های تئوری نسبت به نتایج تجربی، کمتر از ۱۰ درصد بوده و این امر نشان از دقت مدل تخمینی برای محاسبه سختی نمونه‌ها دارد.

نمونه عملیات حرارتی شده بدون نانو با ۵ ساعت انحلال در دمای ۵۰۰ درجه سانتی گراد و ۶ ساعت پیرسازی در دمای ۲۳۰ درجه سانتی گراد بوده است. شایان ذکر است که براساس نتایج ارائه شده در جدول (۶)، داده‌ها از پراکندگی مناسبی برخوردار بوده به طوری که ضریب اسکترباند داده‌ها، برابر با ۱,۱۱ بوده که نشان از دقت مدل رگرسیون داشته و مؤید نتایج ارائه شده در شکل (۸) است.

جدول (۶)، مقایسه نتایج تجربی سختی سنجی آلایژ آلومینیوم-سیلیسیم و نیز نانوکامپوزیت پایه فلزی را با نتایج به دست آمده از مدل رگرسیون نشان می‌دهد. براساس نتایج ارائه شده در این جدول، میانگین خطای نسبی حاصل از اختلاف نتایج سختی سنجی تجربی و نتایج تئوری حاصل از مدل رگرسیون، برابر با ۲,۶۱ درصد بوده است. همچنین، بیشینه خطای نسبی، برابر با ۹,۵۲ درصد و مربوط به اختلاف نتایج تجربی و تئوری

جدول ۶ مقایسه سختی تجربی با نتایج تئوری حاصل از آنالیز رگرسیون

| خطای نسبی<br>(درصد) | سختی (ویکرز) |       | فرآیند پیرسازی |                       | فرآیند انحلال |                       | وجود<br>نانوذرات |
|---------------------|--------------|-------|----------------|-----------------------|---------------|-----------------------|------------------|
|                     | تخمینی       | تجربی | زمان (ساعت)    | دما (درجه سانتی گراد) | زمان (ساعت)   | دما (درجه سانتی گراد) |                  |
| ۱,۵۲                | ۱۴۳,۱۴       | ۱۴۱   | ۶              | ۲۰۰                   | ۱             | ۵۰۰                   | خیر              |
| ۱,۵۲                | ۱۴۳,۱۴       | ۱۴۱   | ۶              | ۲۰۰                   | ۱             | ۵۰۰                   | خیر              |
| ۰,۱۰                | ۱۴۳,۱۴       | ۱۴۳   | ۶              | ۲۰۰                   | ۱             | ۵۰۰                   | خیر              |
| ۰,۰۲                | ۱۳۱,۹۷       | ۱۳۲   | ۶              | ۲۱۵                   | ۱             | ۵۰۰                   | خیر              |
| ۰,۰۲                | ۱۳۱,۹۷       | ۱۳۲   | ۶              | ۲۱۵                   | ۱             | ۵۰۰                   | خیر              |
| ۳,۶۷                | ۱۳۱,۹۷       | ۱۳۷   | ۶              | ۲۱۵                   | ۱             | ۵۰۰                   | خیر              |
| ۱,۱۴                | ۱۱۶,۳۱       | ۱۱۵   | ۶              | ۲۳۰                   | ۱             | ۵۰۰                   | خیر              |
| ۲,۲۶                | ۱۱۶,۳۱       | ۱۱۹   | ۶              | ۲۳۰                   | ۱             | ۵۰۰                   | خیر              |
| ۰,۵۹                | ۱۱۶,۳۱       | ۱۱۷   | ۶              | ۲۳۰                   | ۱             | ۵۰۰                   | خیر              |
| ۲,۳۹                | ۱۴۴,۴۷       | ۱۴۸   | ۶              | ۲۰۰                   | ۳             | ۵۰۰                   | خیر              |
| ۲,۴۶                | ۱۴۴,۴۷       | ۱۴۱   | ۶              | ۲۰۰                   | ۳             | ۵۰۰                   | خیر              |
| ۱,۰۵                | ۱۴۴,۴۷       | ۱۴۶   | ۶              | ۲۰۰                   | ۳             | ۵۰۰                   | خیر              |
| ۲,۰۷                | ۱۳۱,۲۲       | ۱۳۴   | ۶              | ۲۱۵                   | ۳             | ۵۰۰                   | خیر              |
| ۰,۵۹                | ۱۳۱,۲۲       | ۱۳۲   | ۶              | ۲۱۵                   | ۳             | ۵۰۰                   | خیر              |
| ۰,۵۹                | ۱۳۱,۲۲       | ۱۳۲   | ۶              | ۲۱۵                   | ۳             | ۵۰۰                   | خیر              |
| ۷,۰۵                | ۱۱۳,۴۷       | ۱۰۶   | ۶              | ۲۳۰                   | ۳             | ۵۰۰                   | خیر              |
| ۰,۴۶                | ۱۱۳,۴۷       | ۱۱۴   | ۶              | ۲۳۰                   | ۳             | ۵۰۰                   | خیر              |
| ۴,۱۰                | ۱۱۳,۴۷       | ۱۰۹   | ۶              | ۲۳۰                   | ۳             | ۵۰۰                   | خیر              |
| ۰,۶۶                | ۱۴۷,۹۷       | ۱۴۷   | ۶              | ۲۰۰                   | ۵             | ۵۰۰                   | خیر              |
| ۰,۰۲                | ۱۴۷,۹۷       | ۱۴۸   | ۶              | ۲۰۰                   | ۵             | ۵۰۰                   | خیر              |
| ۰,۶۹                | ۱۴۷,۹۷       | ۱۴۹   | ۶              | ۲۰۰                   | ۵             | ۵۰۰                   | خیر              |
| ۲,۰۳                | ۱۳۲,۶۴       | ۱۳۰   | ۶              | ۲۱۵                   | ۵             | ۵۰۰                   | خیر              |
| ۵,۲۷                | ۱۳۲,۶۴       | ۱۲۶   | ۶              | ۲۱۵                   | ۵             | ۵۰۰                   | خیر              |
| ۳,۸۸                | ۱۳۲,۶۴       | ۱۳۸   | ۶              | ۲۱۵                   | ۵             | ۵۰۰                   | خیر              |
| ۹,۵۲                | ۱۱۲,۸۱       | ۱۰۳   | ۶              | ۲۳۰                   | ۵             | ۵۰۰                   | خیر              |
| ۷,۵۳                | ۱۱۲,۸۱       | ۱۲۲   | ۶              | ۲۳۰                   | ۵             | ۵۰۰                   | خیر              |
| ۵,۹۹                | ۱۱۲,۸۱       | ۱۲۰   | ۶              | ۲۳۰                   | ۵             | ۵۰۰                   | خیر              |
| ۱,۹۱                | ۱۴۰,۶۴       | ۱۳۸   | ۶              | ۲۰۰                   | ۱             | ۵۰۰                   | بله              |

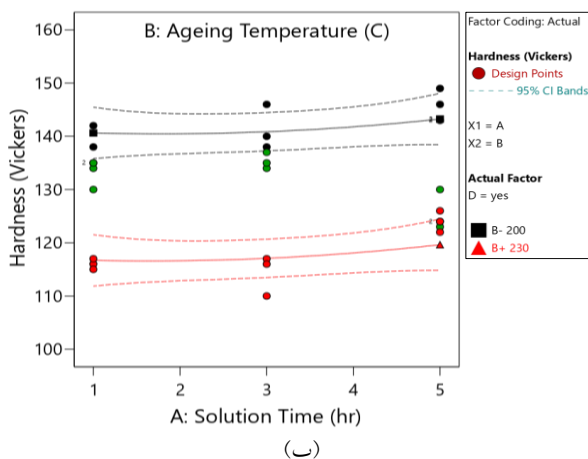
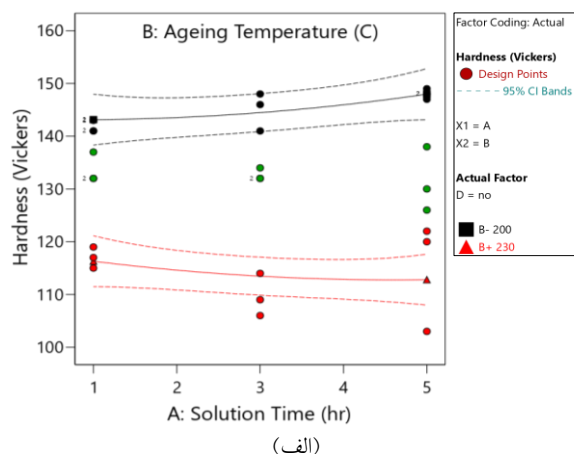
| خطای نسبی<br>(درصد) | سختی (ویکرز) |       | فرآیند پیرسازی |                       | فرآیند انحلال |                       | وجود<br>نانوذرات |
|---------------------|--------------|-------|----------------|-----------------------|---------------|-----------------------|------------------|
|                     | تخمینی       | تجربی | زمان (ساعت)    | دما (درجه سانتی گراد) | زمان (ساعت)   | دما (درجه سانتی گراد) |                  |
| ۴,۱۸                | ۱۴۰,۶۴       | ۱۳۵   | ۶              | ۲۰۰                   | ۱             | ۵۰۰                   | بله              |
| ۰,۹۶                | ۱۴۰,۶۴       | ۱۴۲   | ۶              | ۲۰۰                   | ۱             | ۵۰۰                   | بله              |
| ۰,۷۱                | ۱۳۰,۹۲       | ۱۳۰   | ۶              | ۲۱۵                   | ۱             | ۵۰۰                   | بله              |
| ۲,۳۰                | ۱۳۰,۹۲       | ۱۳۴   | ۶              | ۲۱۵                   | ۱             | ۵۰۰                   | بله              |
| ۳,۰۲                | ۱۳۰,۹۲       | ۱۳۵   | ۶              | ۲۱۵                   | ۱             | ۵۰۰                   | بله              |
| ۰,۵۹                | ۱۱۶,۶۹       | ۱۱۶   | ۶              | ۲۳۰                   | ۱             | ۵۰۰                   | بله              |
| ۱,۴۷                | ۱۱۶,۶۹       | ۱۱۵   | ۶              | ۲۳۰                   | ۱             | ۵۰۰                   | بله              |
| ۰,۲۶                | ۱۱۶,۶۹       | ۱۱۷   | ۶              | ۲۳۰                   | ۱             | ۵۰۰                   | بله              |
| ۲,۰۷                | ۱۴۰,۸۶       | ۱۳۸   | ۶              | ۲۰۰                   | ۳             | ۵۰۰                   | بله              |
| ۳,۵۲                | ۱۴۰,۸۶       | ۱۴۶   | ۶              | ۲۰۰                   | ۳             | ۵۰۰                   | بله              |
| ۰,۶۱                | ۱۴۰,۸۶       | ۱۴۰   | ۶              | ۲۰۰                   | ۳             | ۵۰۰                   | بله              |
| ۲,۰۷                | ۱۳۱,۲۲       | ۱۳۴   | ۶              | ۲۱۵                   | ۳             | ۵۰۰                   | بله              |
| ۴,۲۲                | ۱۳۱,۲۲       | ۱۳۷   | ۶              | ۲۱۵                   | ۳             | ۵۰۰                   | بله              |
| ۲,۸۰                | ۱۳۱,۲۲       | ۱۳۵   | ۶              | ۲۱۵                   | ۳             | ۵۰۰                   | بله              |
| ۰,۰۷                | ۱۱۷,۰۸       | ۱۱۷   | ۶              | ۲۳۰                   | ۳             | ۵۰۰                   | بله              |
| ۶,۴۴                | ۱۱۷,۰۸       | ۱۱۰   | ۶              | ۲۳۰                   | ۳             | ۵۰۰                   | بله              |
| ۰,۹۳                | ۱۱۷,۰۸       | ۱۱۶   | ۶              | ۲۳۰                   | ۳             | ۵۰۰                   | بله              |
| ۰,۱۷                | ۱۴۳,۲۵       | ۱۴۳   | ۶              | ۲۰۰                   | ۵             | ۵۰۰                   | بله              |
| ۳,۸۶                | ۱۴۳,۲۵       | ۱۴۹   | ۶              | ۲۰۰                   | ۵             | ۵۰۰                   | بله              |
| ۱,۸۸                | ۱۴۳,۲۵       | ۱۴۶   | ۶              | ۲۰۰                   | ۵             | ۵۰۰                   | بله              |
| ۸,۶۹                | ۱۳۳,۶۹       | ۱۲۳   | ۶              | ۲۱۵                   | ۵             | ۵۰۰                   | بله              |
| ۲,۸۴                | ۱۳۳,۶۹       | ۱۳۰   | ۶              | ۲۱۵                   | ۵             | ۵۰۰                   | بله              |
| ۷,۸۱                | ۱۳۳,۶۹       | ۱۲۴   | ۶              | ۲۱۵                   | ۵             | ۵۰۰                   | بله              |
| ۵,۰۵                | ۱۱۹,۶۴       | ۱۲۶   | ۶              | ۲۳۰                   | ۵             | ۵۰۰                   | بله              |
| ۱,۹۳                | ۱۱۹,۶۴       | ۱۲۲   | ۶              | ۲۳۰                   | ۵             | ۵۰۰                   | بله              |
| ۳,۵۲                | ۱۱۹,۶۴       | ۱۲۴   | ۶              | ۲۳۰                   | ۵             | ۵۰۰                   | بله              |

است.

به عبارت دیگر، نمونه آلومینیوم- سیلیسیم و نانوکامپوزیت پایه فلزی آلومینیوم، سختی نسبتاً مشابهی دارند.

شکل (۱۰)، اثر متقابل زمان انحلال و دمای پیرسازی را بر سختی نمونه بدون نانوذرات و با نانوذرات رس، نشان می‌دهد. مطابق شکل، نمودارهای مربوط به زمان انحلال و دمای پیرسازی برای هر دو نوع نمونه با و بدون نانوذرات یکدیگر را قطع نکرده است. در نتیجه، در بازه تعریف شده یعنی زمان‌های ۱ ساعت، ۳ ساعت و ۵ ساعت برای فرآیند انحلال و نیز دماهای ۲۰۰ درجه سانتی گراد، ۲۱۵ درجه سانتی گراد و ۲۳۰ درجه سانتی گراد برای

شکل (۹)، اثر پارامترهای مختلف شامل زمان انحلال، دمای پیرسازی و استفاده از نانوذرات رس را بر سختی آلیاژ آلومینیوم- سیلیسیم نشان می‌دهد. مطابق شکل، در نتیجه افزایش زمان انحلال روند محسوسی برای سختی نمونه مشاهده نمی‌شود. در حالی که افزایش دمای پیرسازی کاهش شدید سختی نمونه را موجب شده است. به طور کل، دمای بالاتر در فرآیند پیرسازی، موجب رشد سینماتیک رسوبات و در نتیجه، کاهش میزان سختی ماده می‌گردد [68]. مشابه نتیجه افزایش زمان انحلال در مورد استفاده از نانوذرات رس نیز مشاهده می‌شود؛ به طوری که می‌توان دریافت استفاده از نانوذرات رس اثر چشمگیری بر سختی نمونه نداشته



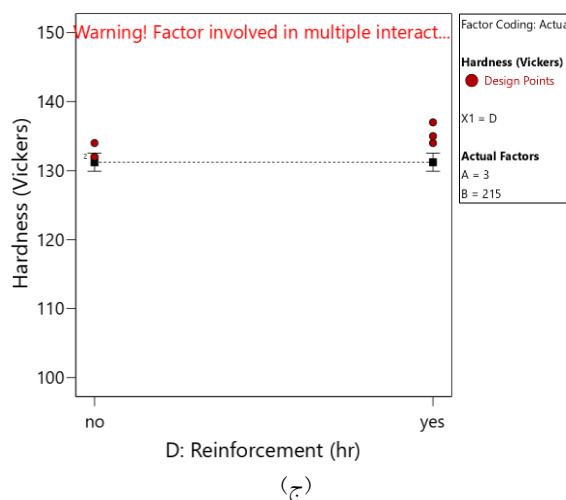
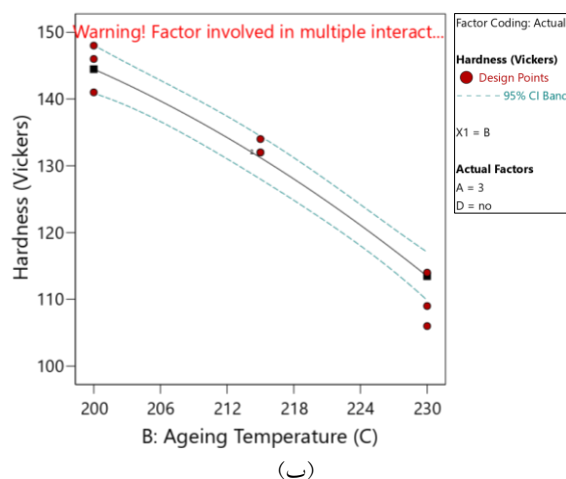
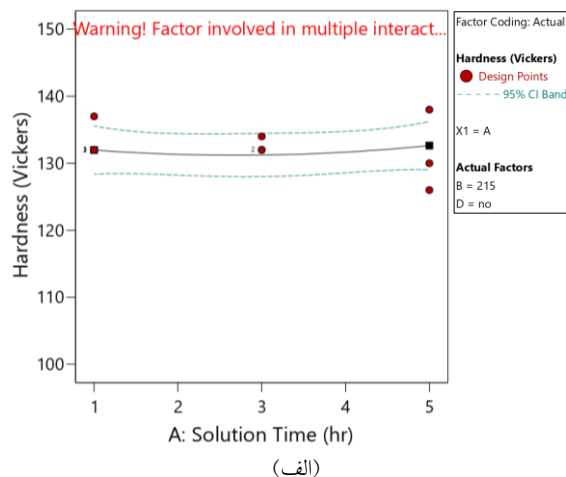
شکل ۱۰ اثر متقابل زمان انحلال و دمای پیرسازی بر سختی نمونه (الف) بدون نانوذرات و (ب) با نانوذرات

به منظور بررسی دقیق تر اثر پارامترهای عملیات حرارتی بر سختی نمونه، نمودار کانتور تأثیر پارامترهای عملیات حرارتی بر سختی نمونه بدون نانوذرات و با نانوذرات رس، در شکل (۱۱) ارائه شده است. همانطور که قابل مشاهده است، کاهش دمای پیرسازی موجب افزایش سختی نمونه با و بدون نانوذرات شده است. در مقابل، افزایش دمای پیرسازی، سختی هر دو نوع نمونه را کاهش داده است.

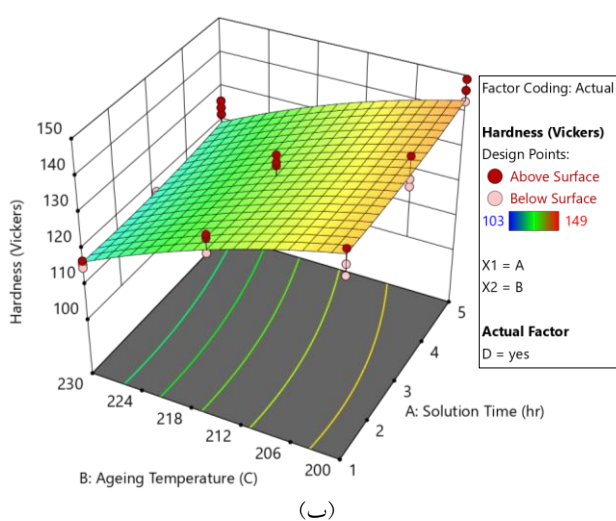
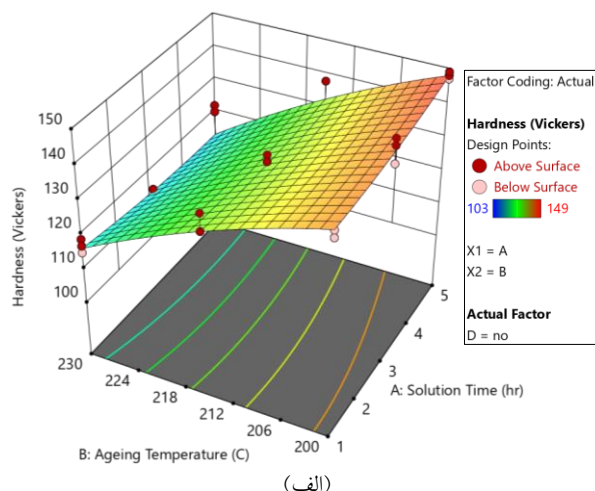
نتایج به دست آمده، با نتایج ارائه شده در مرجع [16]، مطابقت دارد. افزایش سختی طی فرآیند پیرسازی را می توان به چندین بخش از جمله جوانه زنی نواحی خوشه ای خالی، تشکیل ناحیه گینیر- پرستون، جوانه زنی و رشد سریع رسوبات ذرات ریز و... که به شکل نیمه منسجم با فاز آلومینیوم زمینه هستند، تقسیم نمود. این امر موجب افزایش مقاومت آلیاژ آلومینیوم می گردد [69].

شکل (۱۲)، نمودار رگرسیون خطی چندگانه را برای اثر پارامترهای عملیات حرارتی بر سختی نمونه با و بدون نانوذرات

فرآیند پیرسازی، اثر متقابل وجود ندارد. شایان ذکر است که باتوجه به شیب خطوط، نمودارها قطعا در خارج بازه تعریف شده یکدیگر را قطع کرده و در کل، تقابل وجود دارد که موضوع اصلی مورد بررسی در این مقاله نبوده است.



شکل ۹ اثر پارامترهای (الف) زمان انحلال، (ب) دمای پیرسازی و (ج) نانوذرات رس، بر سختی نمونه



شکل ۱۲ نمودار رگرسیون خطی چندگانه برای اثر عملیات حرارتی بر سختی نمونه (الف) بدون نانوذرات و (ب) با نانوذرات رس

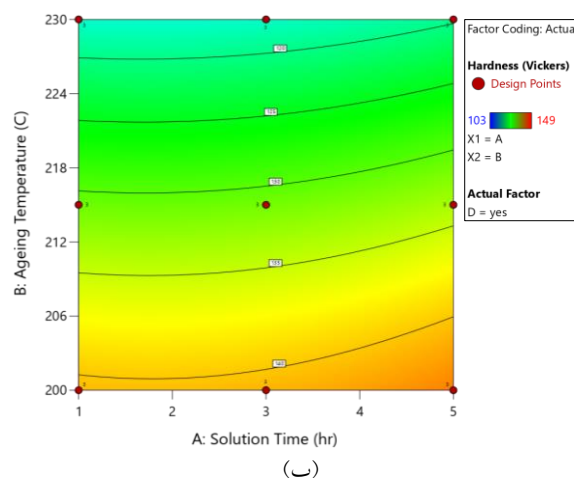
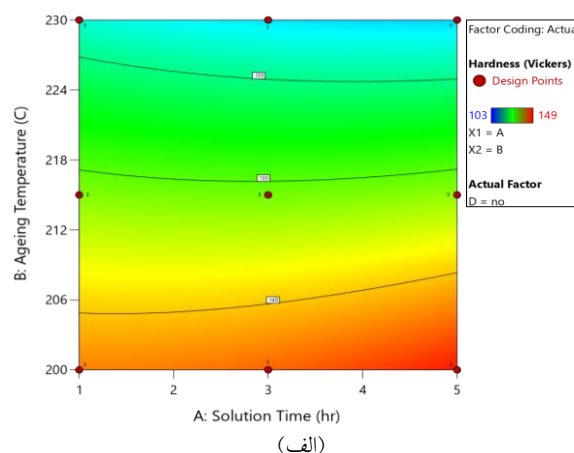
### نتیجه‌گیری

در این مقاله، به تحلیل حساسیت پارامترهای عملیات حرارتی شامل انحلال و پیرسازی و نیز، افزودن نانوذرات خاک رس، بر سختی آلیاژ آلومینیوم-سیلیسیم پیستون موتور خودرو، پرداخته شده است. خلاصه نتایج حاصل از این پژوهش، به صورت زیر است:

۱. سختی آلیاژ پایه پس از افزودن نانوذرات و اجرای فرآیند عملیات حرارتی، افزایش یافت.
۲. زمان انحلال به‌تنهایی، اثر معناداری بر سختی آلیاژ آلومینیوم نداشت.
۳. افزایش دمای فرآیند پیرسازی، موجب کاهش سختی آلیاژ گردید.

رس نشان می‌دهد. با بررسی این نمودار نیز می‌توان دریافت که کاهش دمای پیرسازی، سختی هردو نمونه را افزایش داده است [38].

همچنین، برای نمونه عملیات حرارتی‌شده با فرآیند پیرسازی تحت ۲۰۰ درجه سانتی‌گراد، افزایش زمان انحلال سختی نمونه را افزایش داده است. براساس نتایج ارائه شده در مرجع [70] نیز افزایش زمان انحلال و کاهش دمای پیرسازی، موجب افزایش سختی آلیاژ آلومینیوم-سیلیسیم می‌گردد. کاهش دما و نیز زمان فرآیند پیرسازی، موجب افزایش سختی شده و به تبع آن، خواص کششی، سایشی و خستگی ماده بهبود می‌یابد [71,72]. بررسی ریزساختار آلیاژ آلومینیوم-سیلیسیم عملیات حرارتی‌شده با بیشترین میزان سختی، وجود رسوبات گرد سیلیسیم را در فضای بین‌دندریتی فاز آلومینیوم (در مرز دانه) نشان داد [70]. به‌طور کل، عملیات حرارتی موجب تغییر شکل فاز سیلیسیم و بهبود خواص خستگی و مکانیکی آلیاژ آلومینیوم-سیلیسیم می‌گردد [11] و [62,63].



شکل ۱۱ نمودار کانتور پارامترهای عملیات حرارتی بر سختی نمونه (الف) بدون نانوذرات و (ب) با نانوذرات رس

حاصل از مدل رگرسیون مشاهده گردید به طوری که میانگین و بیشینه خطای نسبی حاصل از اختلاف نتایج تجربی و تئوری سختی سنجی، به ترتیب برابر با ۲,۶۱ و ۹,۵۲ درصد به دست آمد.

### تقدیر و تشکر

نویسندگان، از شرکت موتورسازی پویانستانک جهت فراهم نمودن مواد اولیه و تجهیزات لازم جهت ریخته‌گری و از دانشکده مهندسی مواد و متالورژی دانشگاه سمنان جهت همکاری در اجرای فرایندهای متالورژیکی، قدردانی می‌نمایند.

۴. افزودن نانوذرات، موجب افزایش اندک در مقدار سختی ماده شد.

۵. عملیات حرارتی و افزودن نانوذرات، موجب کروی شدن ذرات سیلیسیم در ریزساختار ماده و در نتیجه، افزایش سختی آلیاژ شدند.

۶. سختی هردو نمونه، طی فرآیند انحلال با زمان ۵ ساعت و فرآیند پیرسازی با دمای ۲۰۰ درجه سانتی‌گراد، به بیشترین مقدار خود رسید. بر این اساس، بیشترین میزان سختی برای آلیاژ آلومینیوم و نانوکامپوزیت پایه‌فلزی طی عملیات حرارتی با شرایط فوق، به ترتیب برابر با ۱۴۸ و ۱۴۶ ویکرز بوده است.

۷. تطابق خوبی میان نتایج تجربی سختی سنجی با نتایج تئوری

### مراجع

- [1] M. Azadi, "Effects of Strain Rate and Mean Strain on Cyclic Behavior of Aluminum Alloys under Isothermal and Thermo-Mechanical Fatigue Loadings," *International Journal of Fatigue*, vol. 47, pp. 148-153, 2013.
- [2] H. Bahmanabadi, *Experimental and Numerical Study on Low-cycle Fatigue Behavior of Aluminum Metal Matrix Nanocomposite at Different Temperatures*, MSc Thesis, Semnan University, 2020, (In Persian).
- [3] M. Zolfaghari, *Investigation of Nano-Particles Addition Effect on Bending High-Cycle Fatigue Lifetime in Engine Piston Aluminum Alloy*, MSc Thesis, Semnan University, 2018, (In Persian).
- [4] J. Mohamadigangaraj, S. Nourouzi, H. Jamshidi Aval, "The Effect of Heat Treatment and Cooling Conditions on Friction Stir Processing of A390-10 wt% SiC Aluminium Matrix Composite," *Materials Chemistry and Physics*, vol. 263, pp. 124423, 2021.
- [5] M. Alphonse, V. K. B. Raja, M. S. Vivek, N. V. S. D. Raj, M. S. S. Darshan, P. Bharmal, "Effect of Heat Treatment on Mechanical Properties of Forged Aluminium Alloy AA2219," *Materials Today: Proceedings*, vol. 44, pp. 3811-3815, 2021.
- [6] M. Azadi, S. Rezanezhad, M. Zolfaghari, M. Azadi, "Effects of Various Ageing Heat Treatments on Microstructural Features and Hardness of Piston Aluminum Alloy," *International Journal of Engineering, Transactions A: Basics*, vol. 32, no. 1, pp. 92-98, 2019.
- [7] E. Rajkeerthi, C. P. Satyanarayan, M. Jaivignesh, N. Pradeep, P. Hariharan, "Effect of Heat Treatment on Strength of Aluminium Matrix Composites," *Materials Today: Proceedings*, vol. 46, pp. 4419-4425, 2020.
- [8] B. Safarbali, M. Shamanian, A. Eslami, "Effect of Post-Weld Heat Treatment on Joint Properties of Dissimilar Friction Stir Welded 2024-T4 and 7075-T6 Aluminum Alloys," *Transactions of Nonferrous Metals Society of China (English Edition)*, vol. 28, no. 7, pp. 1287-1297, 2018.
- [9] Z. Yuan, W. Tian, F. Li, Q. Fu, X. Wang, W. Qian, W. An, "Effect of Heat Treatment on The Interface of High-Entropy Alloy Particles Reinforced Aluminum Matrix Composites," *Journal of Alloys and Compounds*, vol. 822, pp.



- 153658, 2020.
- [10] A. K. Padap, A.P. Yadav, P. Kumar, N. Kumar, "Effect of Aging Heat Treatment and Uniaxial Compression on Thermal Behavior of 7075 Aluminum Alloy," *Materials Today: Proceedings*, vol. 33, pp. 5442-5447, 2020.
- [11] M. Azadi, H. Bahmanabadi, F. Gruen, G. Winter, "Evaluation of Tensile and Low-Cycle Fatigue Properties at Elevated Temperatures in Piston Aluminum-Silicon Alloys With and Without Nano-Clay-Particles and Heat Treatment," *Materials Science and Engineering: A*, vol. 788, pp. 139497, 2020.
- [12] J. Yi, G. Wang, S. Li, Z. Liu, Y. Gong, "Effect of Post-Weld Heat Treatment on Microstructure and Mechanical Properties of Welded Joints of 6061-T6 Aluminum Alloy," *Transactions of Nonferrous Metals Society of China (English Edition)*, vol. 29, no. 10, pp. 2035-2046, 2019.
- [13] M. Azadi, S. Rezanezhad, M. Zolfaghari, M. Azadi, "Investigation of Tribological and Compressive Behaviors of Al/SiO<sub>2</sub> Nanocomposites After T6 Heat Treatment," *Sadhana - Academy Proceedings in Engineering Sciences*, vol. 45, no. 1, 2020.
- [14] S. Prakash, R. John Felix Kumar, S. Jerome, "Effect of Heat Treatment on Microstructure and Mechanical Properties of CNT Welded Aluminium Alloy 2024," *Materials Today: Proceedings*, vol. 5, no. 13, pp. 26997-27003, 2018.
- [15] M. Azadi, A. Basiri, A. Dadashi, G. Winter, B. Seisenbacher, F. Gruen, "Effect of Nano-Clay Addition and Heat-Treatment on Tensile and Stress-Controlled Low-Cycle Fatigue Behaviors of Aluminum-Silicon Alloy: Effect of Nano-Clay Addition and Heat-Treatment," *Frattura ed Integrità Strutturale*, vol. 15, no. 57, pp. 373-397, 2021.
- [16] M. J. Sharifi, M. Azadi, M. Azadi, "Sensitivity Analysis of Heat Treatment Parameters on Cylinder-head Aluminum Alloy Properties by Regression Method," *Journal of Metallurgical and Materials Engineering*, vol. 32, no. 1, pp. 57-74, 2021, (In Persian).
- [17] M. Azadi, *Improvement and Optimization of Vibration Behavior of a vehicle full body by Design of Experiments*, MSc Thesis, K.N. Toosi University of Technology, 2013, (In Persian).
- [18] D. C. Montgomery, *Design and Analysis of Experiments*, John Wiley and Sons, 2017.
- [19] M. Azadi, H. Bahmanabadi, J. Torkian, G. Nosrat, "Investigation of Nano-Clay Particles Addition on Microstructure, Fracture Surface, and Mechanical Properties of Piston Aluminum Alloy in Automotive Engine," *Sharif Journal of Mechanical Engineering*, vol. 36.3, no. 2, pp. 41-49, 2020, (In Persian).
- [20] M. Wang, J. C. Pang, H. Q. Liu, S. X. Li, Z. F. Zhang, "Influence of Microstructures on The Tensile and Low-Cycle Fatigue Damage Behaviors of Cast Al12Si4Cu3NiMg Alloy," *Materials Science and Engineering: A*, vol. 759, pp. 797-803, 2019.
- [21] M. Wang, J. C. Pang, H. Q. Liu, C. L. Zou, S. X. Li, Z. F. Zhang, "Deformation Mechanism and Fatigue Life of An Al-12Si Alloy at Different Temperatures and Strain Rates," *International Journal of Fatigue*, vol. 127, pp. 268-274, 2019.
- [22] R. Canyook, R. Utakrut, C. Wongnichakorn, K. Fakpan, S. Kongiang, "The Effects of Heat Treatment on Microstructure and Mechanical Properties of Rheocasting ADC12 Aluminum Alloy," in *Materials Today: Proceedings*, vol. 5, no. 3, pp. 9476-9482, 2018.
- [23] C. L. Chen, A. Richter, R. C. Thomson, "Mechanical Properties of Intermetallic Phases in Multi-Component Al-Si

- Alloys Using Nanoindentation,” *Intermetallics*, vol. 17, no. 8, pp. 634-641, 2009.
- [24] Z. Asghar, G. Requena, H. P. Degischer, P. Cloetens, “Three-Dimensional Study of Ni Aluminides in An AlSi12 Alloy by Means of Light Optical and Synchrotron Microtomography,” *Acta Materialia*, vol. 57, no. 14, pp. 4125-4132, 2009.
- [25] Y. Li, Y. Yang, Y. Wu, L. Wang, X. Liu, “Quantitative Comparison of Three Ni-Containing Phases to The Elevated-Temperature Properties of Al-Si Piston Alloys,” *Materials Science and Engineering A*, vol. 527, no. 26, pp. 7132-7137, 2010.
- [26] C. Y. Jeong, “Effect of Alloying Elements on High Temperature Mechanical Properties for Piston Alloy,” *Materials Transactions*, vol. 53, no. 1, pp. 234-239, 2012.
- [27] C. B. Basak, A. Meduri, N. Hari Babu, “Influence of Ni in High Fe Containing Recyclable Al-Si Cast Alloys,” *Materials and Design*, vol. 182, pp. 108017, 2019.
- [28] P. Apichai, J. Kajornchiyakul, J. T. H. Pearce, A. Wiengmoon, “Effect of Precipitation Hardening Temperatures and Times on Microstructure, Hardness and Tensile Properties of Cast Aluminium Alloy A319,” *Naresuan University Engineering Journal*, vol. 6, no. 1, pp. 28-33, 2011.
- [29] E. Feyzullahoğlu, A. T. Ertürk, E. A. Guven, “Influence of Forging and Heat Treatment on Wear Properties of Al-Si and Al-Pb Bearing Alloys in Oil Lubricated Conditions,” *Transactions of Nonferrous Metals Society of China (English Edition)*, vol. 23, no. 12, pp. 3575-3583, 2013.
- [30] A. M. Samuel, E. M. Elgallad, H. W. Doty, S. Valtierra, F. H. Samuel, “Effect of Metallurgical Parameters on The Microstructure, Hardness Impact Properties, and Fractography of Al-(6.5-11.5) wt% Si based Alloys,” *Materials and Design*, vol. 107, pp. 426-439, 2016.
- [31] R. K. Singh, A. Telang, M. M. Khan, “Effect of T6 Heat Treatment on Microstructure, Mechanical Properties and Abrasive Wear Response of Fly Ash Reinforced Al-Si Alloy,” *Materials Today: Proceedings*, vol. 4, no. 9, pp. 10062-10068, 2017.
- [32] W. Kasprzak, H. Kurita, G. Birsan, B. S. Amirkhiz, “Hardness Control of Al-Si HPDC Casting Alloy via Microstructure Refinement and Tempering Parameters,” *Materials and Design*, vol. 103, pp. 365-376, 2016.
- [33] S. Joseph, S. Kumar, R. P. Babu, “Compressive Flow Behavior of Al-Si based Alloy: Role of Heat Treatment,” *Materials Science and Engineering A*, vol. 629, pp. 41-53, 2015.
- [34] M. Zeren, “The Effect of Heat-Treatment on Aluminum-based Piston Alloys”, *Materials and Design*, vol. 28, no. 9, pp. 2511-2517, 2007.
- [35] H. Yang, S. Ji, Z. Fan, “Effect of Heat Treatment and Fe Content on The Microstructure and Mechanical Properties of Die-Cast Al-Si-Cu Alloys,” *Materials and Design*, vol. 85, pp. 823-832, 2015.
- [36] L.F. Wang, J. Sun, X. L. Yu, Y. Shi, X. G. Zhu, L. Y. Cheng, H. H. Liang, B. Yan, L. J. Guo, “Enhancement in Mechanical Properties of Selectively Laser-Melted AlSi10Mg Aluminum Alloys by T6-like Heat Treatment,” *Materials Science and Engineering A*, vol. 734, pp. 299-310, 2018.
- [37] O. E. Sebaie, A. M. Samuel, F. H. Samuel, H. W. Doty, “The Effects of Mischmetal, Cooling Rate and Heat Treatment on The Hardness of A319.1, A356.2 and A413.1 Al-Si Casting Alloys,” *Materials Science and Engineering*

- A, vol. 486, no. 1-2, pp. 241-252, 2008.
- [38] M. Farokhpour, M. S. A. Parast, M. Azadi, "Evaluation of Hardness and Microstructural Features in Piston Aluminum-Silicon Alloys after Different Ageing Heat Treatments," *Results in Materials*, vol. 16, pp. 100323, 2022.
- [39] L.Y. Pio, "Effect of T6 Heat Treatment on the Mechanical Properties of Gravity Die Cast A356 Aluminium Alloy," *Journal of Applied Sciences*, vol. 11, no. 11, pp. 2048-2052, 2011.
- [40] V. Firouzdar, M. Rajabi, E. Nejati, F. Khomamizadeh, "Effect of Microstructural Constituents on The Thermal Fatigue Life of A319 Aluminum Alloy," *Materials Science and Engineering A*, vol. 454-455, pp. 528-535, 2007.
- [41] K. Sasaki, T. Takahashi, "Low Cycle Thermal Fatigue and Microstructural Change of AC2B-T6 Aluminum Alloy," *International Journal of Fatigue*, vol. 28, no. 3, pp. 203-210, 2006.
- [42] A. Moffat, S. Barnes, B. Mellor, P. Reed, "The Effect of Silicon Content on Long Crack Fatigue Behaviour of Aluminium-Silicon Piston Alloys at Elevated Temperature," *International Journal of Fatigue*, vol. 27, no. 10-12, pp. 1564-1570, 2005.
- [43] S. H. Juang, L. J. Fan, H. P. O. Yang, "Influence of Preheating Temperatures and Adding Rates on Distributions of Fly Ash in Aluminum Matrix Composites Prepared by Stir Casting," *International Journal of Precision Engineering and Manufacturing*, vol. 16, no. 7, pp. 1321-1327, 2015.
- [44] J. L. Cavazos, R. Colas, "Precipitation in A Heat-Treatable Aluminum Alloy Cooled at Different Rates," *Materials Characterization*, vol. 47, no. 3-4, pp. 175-179, 2001.
- [45] K. El-Menshawy, A. W. A. El-Sayed, M. E. El-Bedawy, H. A. Ahmed, S. M. El-Raghy, "Effect of Aging Time at Low Aging Temperatures on The Corrosion of Aluminum Alloy 6061," *Corrosion Science*, vol. 54, pp. 167-173, 2012.
- [46] S. Tabibian, E. Charkaluk, A. Constantinescu, G. Guillemot, F. Szymtyka, "Influence of Process-Induced Microstructure on Hardness of Two Al-Si Alloys," *Materials Science and Engineering A*, vol. 646, pp. 190-200, 2015.
- [47] F. Kamali, M. Azadi, "An Evaluation of Tribological and Mechanical Properties of Al-Si-Cu Alloy with Nano-Clay Particles Reinforcement," *Proceedings of the Institution of Mechanical Engineers, Part C: Journal of Mechanical Engineering Science*, vol. 233, no. 19-20, pp. 7062-7076, 2019.
- [48] Z. Qian, X. Liu, D. Zhao, G. Zhang, "Effects of Trace Mn Addition on The Elevated Temperature Tensile Strength and Microstructure of A Low-Iron Al-Si Piston Alloy," *Materials Letters*, vol. 62, no. 14, pp. 2146-2149, 2008.
- [49] M. Azadi, M. M. Shirazabad, "Heat Treatment Effect on Thermo-Mechanical Fatigue and Low Cycle Fatigue Behaviors of A356.0 Aluminum Alloy," *Materials and Design*, vol. 45, pp. 279-285, 2013.
- [50] S. Khisheh, M. Azadi, V. Z. Hendoabadi, M. S. A. Parast, G. Winter, B. Seisenbacher, F. Gruen, K. Khalili, "Influence of T6 Heat-Treating and Over-Ageing on Out-of-Phase Thermo-Mechanical Fatigue Behaviors of Al-Si-Cu Alloy," *Materials Today Communications*, pp. 104803, 2022.
- [51] S. Rezanezhad, M. Azadi, M. Azadi, "Influence of Heat Treatment on High-Cycle Fatigue and Fracture Behaviors of Piston Aluminum Alloy Under Fully-Reversed Cyclic Bending," *Metals and Materials International*, vol. 27, no. 5, pp. 860-870, 2021.
- [52] W. Shi, B. Gao, G. Tu, S. Li, Y. Hao, F. Yu, "Effect of Neodymium on Primary Silicon and Mechanical Properties

- of Hypereutectic Al-15%Si alloy,” *Journal of Rare Earths*, vol. 28, pp. 367-370, 2010.
- [53] M. Azadi, S. Rezanezhad, M. Zolfaghari, M. Azadi, “Effect of Simultaneous Use of Silica Nanoparticles and Heat Treatment on High-Cycle Bending Fatigue Lifetime in Piston Aluminum Alloy,” *Modares Mechanical Engineering*, vol. 20, no. 6, pp. 1463-1473, 2020, (In Persian).
- [54] M. Garat, and G. Laslaz, *Improved Aluminium Alloys for Common Rail Diesel Cylinder Heads*, Engineering, 2007.
- [55] J. Feng, B. Ye, L. Zuo, R. Qi, Q. Wang, H. Jiang, R. Huang, W. Ding, “Effects of Ni Content on Low Cycle Fatigue and Mechanical Properties of Al-12Si-0.9Cu-0.8Mg-xNi at 350°C,” *Materials Science and Engineering: A*, vol. 706, pp. 27-37, 2017.
- [56] M. Zhu, Z. Jian, G. Yang, Y. Zhou, “Effects of T6 Heat Treatment on The Microstructure, Tensile Properties, and Fracture Behavior of The Modified A356 alloys,” *Materials and Design*, vol. 36, pp. 243-249, 2012.
- [57] M. Azadi, “Cyclic Thermo-Mechanical Stress, Strain and Continuum Damage Behaviors in Light Alloys during Fatigue Lifetime considering Heat Treatment Effect,” *International Journal of Fatigue*, vol. 99, pp. 303-314, 2017.
- [58] M. Azadi, H. Bahmanabadi, F. Gruen, G. Winter, B. Seisenbacher, “Cyclic Hardening/Softening Experimental Data in Nano-Clay-Composite and Aluminum Alloy under High-Temperature Strain-Controlled Loading,” *Experimental Results*, vol. 3, pp. e6, 2022.
- [59] E. Ogris, A. Wahlen, H. Lüchinger, P. Uggowitzer, “On The Silicon Spheroidization in Al-Si alloys,” *Journal of Light Metals*, vol. 2, no. 4, pp. 263-269, 2002.
- [60] D. Zhang, L. Zheng, D. St John, “Effect of A Short Solution Treatment Time on Microstructure and Mechanical Properties of Modified Al-7wt.%Si-0.3wt.%Mg alloy,” *Journal of Light Metals*, vol. 2, no. 1, pp. 27-36, 2002.
- [61] V. S. Krasnikov, A. E. Mayer, V. V. Pogorelko, M. R. Gazizov, “Influence of  $\theta'$  Phase Cutting on Precipitate Hardening of Al-Cu Alloy during Prolonged Plastic Deformation: Molecular Dynamics and Continuum Modeling,” *Applied Sciences*, vol. 11, no. 11, p. 4906, 2021.
- [62] M. S. A. Parast, M. Azadi, “Effect of Nano-Clay Particles and Heat Treating on Pure and Fretting Fatigue Properties of Piston Aluminum Alloy under Stress-Controlled Cyclic Bending Loading,” *Journal of Materials Engineering and Performance*, vol. 31, no. 7, pp. 5927-5942, 2022.
- [63] P. Liu, J. Y. Hu, H. X. Li, S. Y. Sun, Y. B. Zhang, “Effect of Heat Treatment on Microstructure, Hardness and Corrosion Resistance of 7075 Al Alloys Fabricated by SLM,” *Journal of Manufacturing Processes*, vol. 60, pp. 578-585, 2020.
- [64] K. N. Obiekea, S. Y. Aku, D. S. Yawas, “Effects of Pressure on The Mechanical Properties and Microstructure of Die Cast Aluminum A380 alloy,” *Journal of Minerals and Materials Characterization and Engineering*, vol. 2, no. 03, pp. 248, 2014.
- [65] S. J. S. Chelladurai, R. Arthanari, “Prediction of Hardness of Stir Cast LM13 Aluminum Alloy - Copper Coated Short Steel Fiber Reinforced Composites using Response Surface Methodology,” *Materials Science and Engineering Technology*, vol. 51, no. 2, pp. 221-229, 2020.
- [66] M. Azadi, M. S. A. Parast, “Data Analysis of High-Cycle Fatigue Testing on Piston Aluminum-Silicon Alloys under Various Conditions: Wear, Lubrication, Corrosion, Nano-Particles, Heat-Treating, and Stress,” *Data in Brief*, vol. 41,

- pp. 107984, 2022.
- [67] S. I. Talabi, S. O. Adeosun, A. F. Alabi, I. N. Aremu, S. Abdulkareem, "Effects of Heat Treatment on the Mechanical Properties of Al-4% Ti Alloy," *International Journal of Metals*, vol. 2013, pp. 127106, 2013.
- [68] V. Gadpale, P. N. Banjare, M. K. Manoj, "Effect of Ageing Time and Temperature on Corrosion Behaviour of Aluminum Alloy 2014," *IOP Conference Series: Materials Science and Engineering*, vol. 338, pp. 012008, 2018.
- [69] E. F. A. Zeid, "Influence of Aging Temperature on Precipitation Kinetics, Morphology and Hardening Behavior of Al-7475 Alloy," *Arabian Journal for Science and Engineering*, vol. 44, no. 7, pp. 6621-6629, 2019.
- [70] J. Pezda, "Effect of Shortened Heat Treatment on The Hardness and Microstructure of 320.0 Aluminium Alloy," *Archives of Foundry Engineering*, vol. 14, no. 2, pp. 27-30, 2014.
- [71] N. Awad, H. Niu, U. Ali, Y. Morsi, T. Lin, "Electrospun Fibrous Scaffolds for Small-Diameter Blood Vessels: A Review," *Membranes*, vol. 8, no. 1, p. 15, 2018.
- [72] Z. Y. Li, X. L. Liu, G. Q. Wu, W. Sha, "Observation of Fretting Fatigue Cracks of Ti6Al4V Titanium Alloy," *Materials Science and Engineering: A*, vol. 707, pp. 51-57, 2017.

